

# Spécialité génie électronique Session 2003

## Etude des systèmes techniques industriels

Durée : 6 heures coefficient : 8

## **CHARIOT DE GOLF**

## Tout document interdit

## Calculatrice réglementaire autorisée

## Ce sujet comporte :

- A- Analyse fonctionnelle du système : A1 à A4
- B- Partie mécanique et construction:
  - Questions et documents réponses : B1 à B5 et BR1 à BR3
  - Documents annexes : BAN1 à BAN4
- C- Partie électronique :
  - Questions et documents réponses : C1 à C10 et CR1 à CR3
  - Documents annexes : CAN1 à CAN12



# Spécialité génie électronique Session 2003

Etude des systèmes techniques industriels

## **CHARIOT DE GOLF**

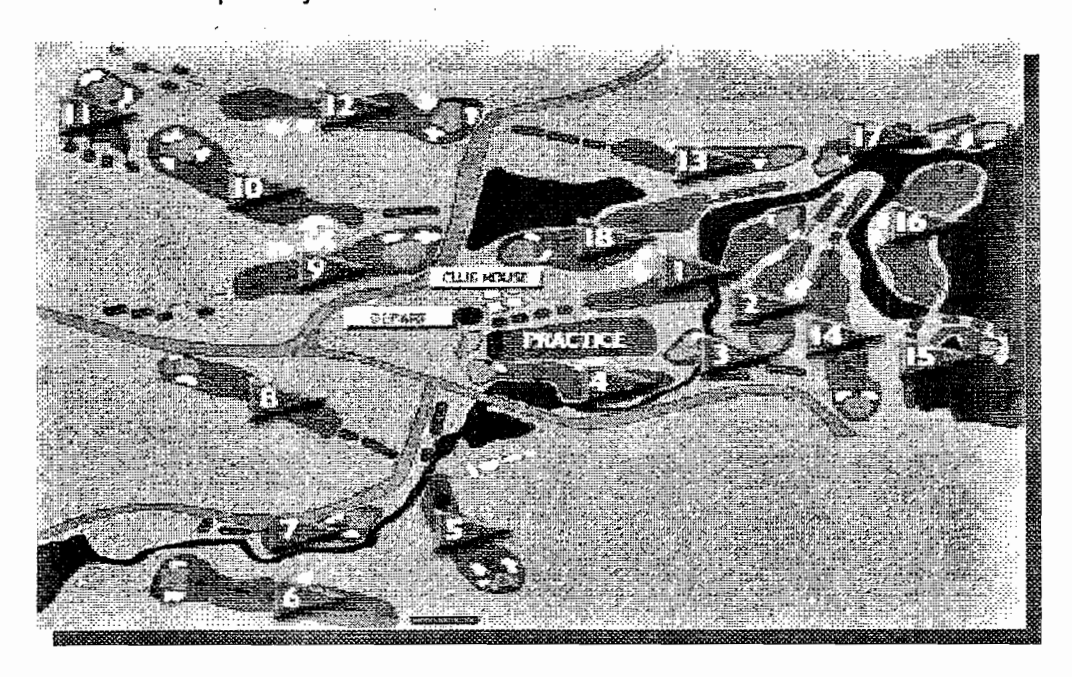
Analyse fonctionnelle du système : A1 à A4



### A- Mise en situation

## Le terrain de golf :

Le terrain de golf est constitué d'un parcours comprenant de 9 à 18 trous, que le golfeur doit parcourir successivement. La distance totale effectuée pour 18 trous est d'environ 8 km et le temps de jeu d'environ 4h.



Ce parcours peut être plus ou moins accidenté. Selon le profil du terrain : Il comporte des pentes plus ou moins abruptes, une zone roulante appelée « fairway » ou l'herbe est tondue courte et une zone d'herbe plus haute appelée « rough ». Selon la saison, le sol est sec ou boueux.

## Le matériel de golf :









BOIS

L'ensemble des clubs nécessaires (maximum de 14 ) ainsi que le sac permettant de les ranger représente un poids d'environ 20 kg.

**IEELMER** 

Bac STI G Electronique Etude des systèmes techniques industriels Analyse fonctionnelle Page : A1/4

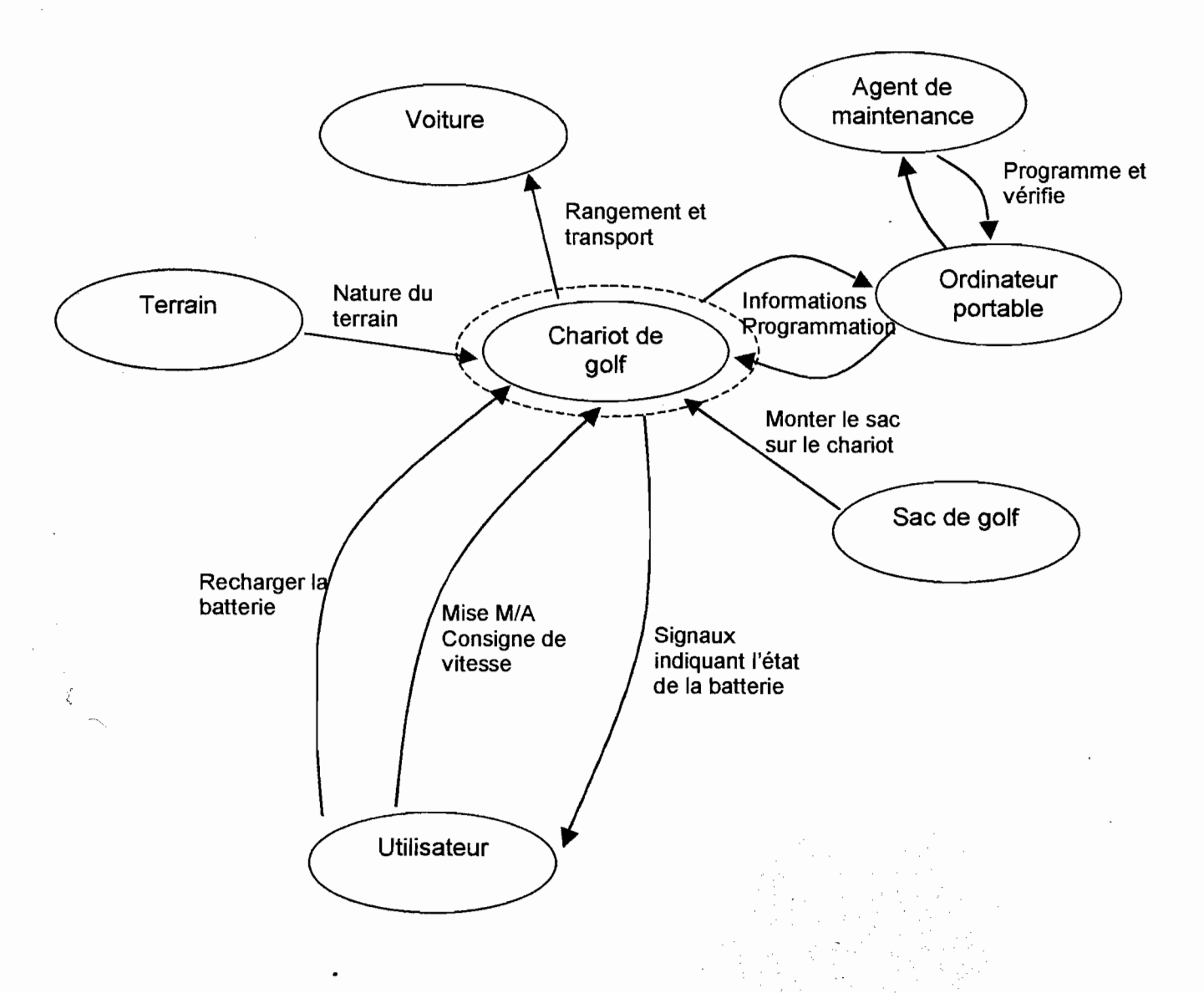


## B- Expression du besoin

Compte tenu de la distance à parcourir et du poids à transporter, il peut être nécessaire de faire transporter le matériel par un chariot à propulsion électrique. Dans ce cas, ce chariot doit être autonome et avoir une durée de fonctionnement suffisante pour couvrir la distance.

Il doit pouvoir s'adapter à la nature de tous les terrains rencontrés et être pliable pour se ranger dans le coffre d'une voiture.

## C- Diagramme sagittal





## D- Descriptif du chariot de golf

Le chariot est un chariot électrique alimenté par une batterie permettant le transport d'un sac de golf sans effort sur un parcours même accidenté.

Pliable, Le chariot pèse seulement 9,7 kg.

D'une nouvelle génération, il est doté des dernières technologies.

L'ensemble, géré par microcontrôleur, offre souplesse et sécurité.

En cas de blocage de la roue ou surchauffe du moteur, le chariot est protégé par une sécurité électronique.

Les roues avant sont réglables pour assurer un déplacement en parfaite ligne droite, et sont également autonettoyantes.



Le pilotage est assuré par une carte de commande et une carte puissance.

Le bouton poussoir D, logé dans la poignée permet la mise en marche et l'arrêt du système.

Le potentiomètre A permet de faire varier la vitesse du chariot.

Au démarrage, la vitesse augmente progressivement jusqu'à atteindre la vitesse de consigne déterminée par la position du potentiomètre.

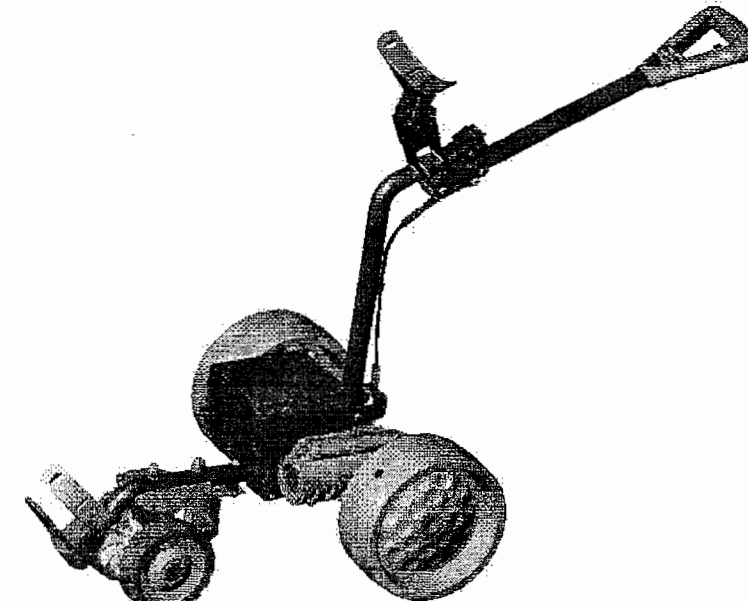
Ce départ en « douceur » géré par le microcontrôleur permet une meilleure synchronisation avec le déplacement de l'usager et une économie de l'énergie.

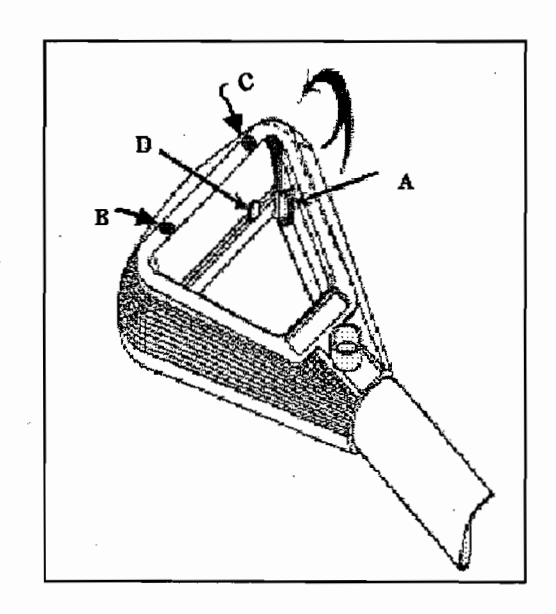
Il reste cependant toujours possible, en cours d'utilisation, d'augmenter ou de réduire la vitesse du chariot (voir de compenser la vitesse en cas de passage abrupt).

La charge de la batterie est contrôlée à

chaque démarrage du chariot. L'utilisateur est averti du taux de décharge par des bips successifs de courtes durées et des indicateurs lumineux (B et C).

Lorsque la tension de la batterie atteint une valeur trop faible (UBat < 11 volts) ou que la température du moteur s'élève anormalement, le chariot s'arrête et 4 bips avertissent l'utilisateur.



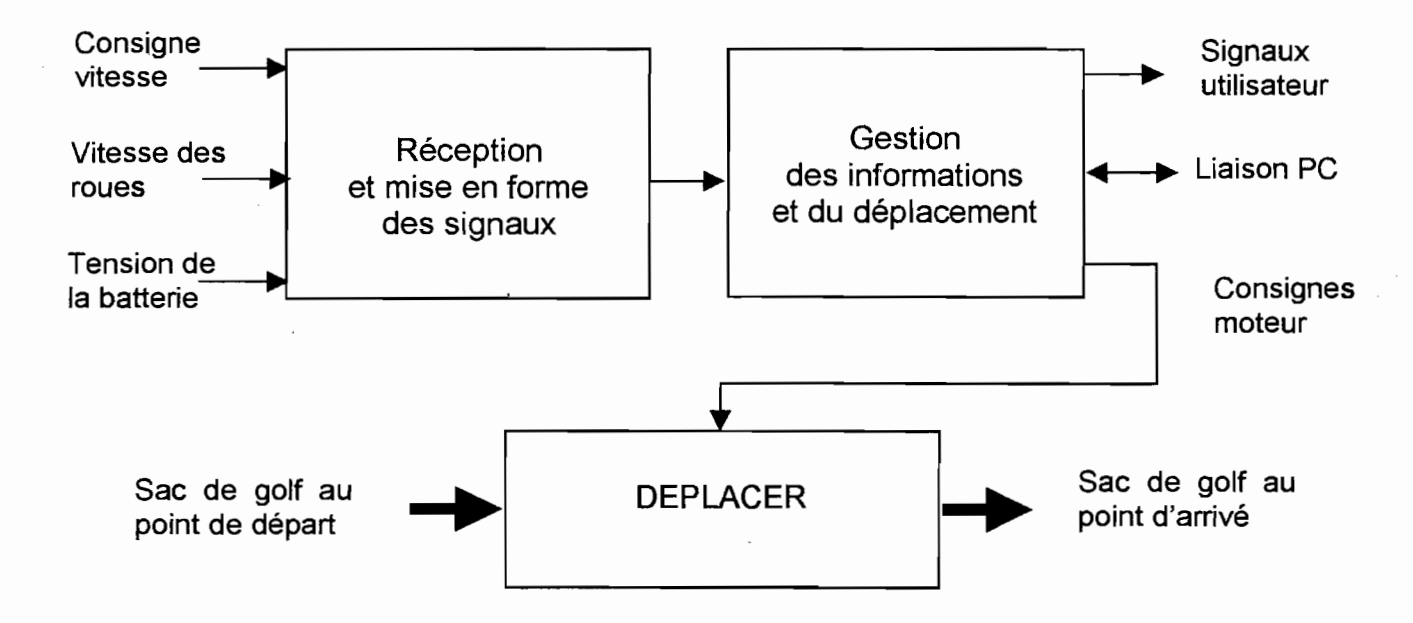




## E- Analyse fonctionnelle

<u>Fonction d'usage</u>: Permettre le déplacement d'un sac de golf de façon autonome quelque soit l'état du terrain, en fonction de la consigne de vitesse donnée par l'utilisateur.

#### Schéma fonctionnel de niveau II





# Spécialité génie électronique Session 2003

## Etude des systèmes techniques industriels

## **CHARIOT DE GOLF**

## Partie mécanique et construction :

- Questions et documents réponses : B1 à B5 et BR1 à BR3

- Documents annexes : BAN1 à BAN4



## La partie mécanique comprend trois études :

- 1 \_ Etude graphique à main levée d'une pièce.
- 2 \_ Etude du couple exercé par les roues motrices du chariot.
- 3\_ Etude de la motorisation du chariot.

Les trois parties sont indépendantes, et il est conseillé de consacrer 30 min par partie. Vous répondrez sur les documents réponse notés BR1, BR2 e BR3 Les questions sont précédées du sigle 🗷

## Partie 1 : Etude graphique à main levée d'une pièce

## 1.1 Objectif:

Le document annexe BAN2 est le dessin de définition (non coté), de la chape qui va permettre de faire pivoter le timon lors du pliage et dépliage (voir aussi la partie « A : Analyse fonctionnelle, en page A4 : Descriptif du chariot » et le chariot en représentation éclaté sur le document annexe BAN1). Ce dessin de définition est un document technique qui sert de base à la fabrication de la pièce. La lecture de ce dessin n'est pas toujours immédiate, surtout pour un non initié. Comme outil de communication technique, on utilise souvent de façon complémentaire aux autres représentations, le dessin en perspective à main levée. L'objectif de cette représentation est de donner rapidement une vision globale de la pièce en trois dimensions.

#### 1.2 Travail demandé:

Question 1 : A partir des documents BAN1 et BAN2, compléter à main levée, la perspective isométrique de la chape : Respecter les formes et les proportions. (les arêtes cachées ne seront pas représentées)

#### Partie 2 : Vérification du couple exercé par les roues motrices du chariot

### 2.1 Objectif de l'étude

On s'intéresse à la fonction mécanique principale qui est **FP déplacer le chariot**. Lorsque le frottement entre les roues et le sol atteint une valeur limite, le gazon risque d'être endommagé. Compte tenu de cette donnée, la motorisation choisie, ainsi que son alimentation électrique gérée par la partie commande ne doivent pas fournir aux roues motrices un couple supérieur à une valeur limite. Nous nous proposons dans cette partie de vérifier la condition de non-dégradation du gazon.



## 2.2 Données et hypothèses

On considère que le chariot chargé du sac rempli de clubs de golf se déplace en translation rectiligne uniforme sur un terrain plat (voir le dessin sur le document réponse BR2). Le gazon offre une grande résistance au roulement.

## Hypothèses:

- ⇒ Le système est assimilé à un solide.
- ⇒ Le système admet un plan de symétrie pour la géométrie et pour les actions mécaniques, on pourra donc se ramener à un problème plan.

#### Données:

- ⇒ La masse m du système est de 30 kg
- ⇒ L'accélération g de la pesanteur est de 9,8 m.s<sup>-2</sup>

On donne : le bilan des actions extérieures appliquées au système S {chariot + sac rempli}

Désignation et notation	Point d'application	Norme	Directions et sens
Poids du système $ec{P}$	G	2.	
Résultante de l'action du sol sur les roues motrices arrières $\overrightarrow{B_{sol \to s}}$	В	?	La direction est indiquée sur le document BR2
Résultante de l'action du sol sur les roues avant non motrices $\overrightarrow{A}_{sol \to s}$	A	?	

## 2.2.1 Travail demandé (répondre sur BR2)

**Question 2**: Calculer la norme de  $\vec{P}$  et indiquer sa direction et son sens.

Représenter graphiquement le vecteur  $\vec{P}$  sur le document BR2



**Question 3** : Enoncer le principe fondamental de la statique appliqué au chariot en donnant l'expression vectorielle de la résultante.

Question 4: Le chariot se résume à un système en équilibre sous l'action de trois glisseurs. Que peut-on dire de la droite support de  $A_{sol \rightarrow s}$ ? Tracer la droite support de  $A_{sol \rightarrow s}$ .

**Question 5** : Résoudre graphiquement en traçant le dynamique (appelé aussi polygone des forces) à son emplacement sur le document BR2.

Reporter les actions mécaniques  $\overline{A_{sol} \rightarrow s}$  et  $\overline{B_{sol} \rightarrow s}$  à leur emplacement respectif sur le dessin du chariot.

Question 6 : Pour le vecteur  $\overrightarrow{B_{sol}} \rightarrow s$ , tracer sur le graphique sa composante normale au sol  $\overrightarrow{N}$  et sa composante tangentielle  $\overrightarrow{T}$ .

La protection du gazon nécessite que la force tangentielle ne soit pas supérieure à 200 N.

Question 7 : La condition de non-endommagement du gazon est-elle respectée ?



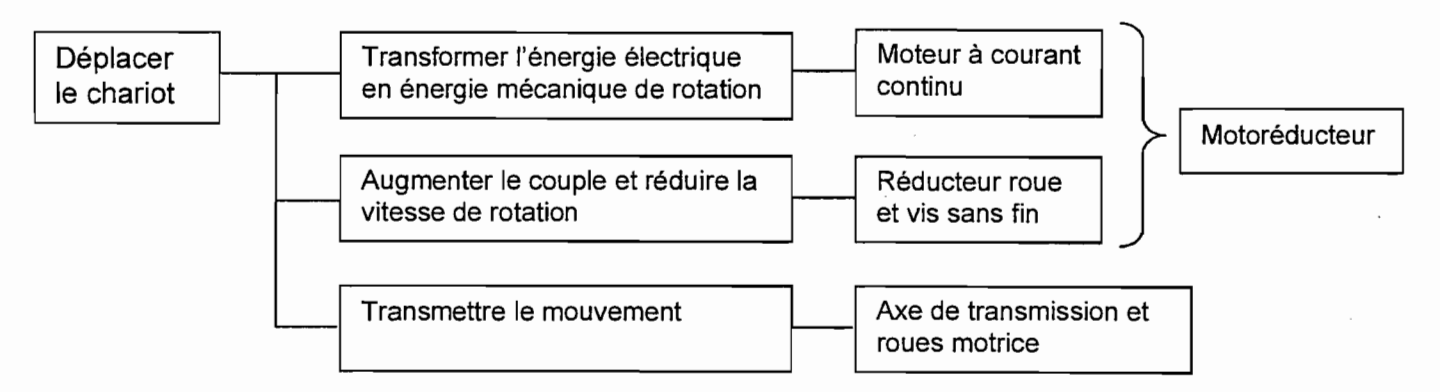
#### 3 Etude de la motorisation du chariot.

## 3.1 Objectif de l'étude

On s'intéresse à la fonction mécanique principale qui est **FP déplacer le chariot**. Le joueur de golf se déplace habituellement sur un terrain de golf à une vitesse maximum de **8 km/h**. Le choix de la motorisation électrique du chariot doit permettre de déplacer celui-ci à cette vitesse, tout en fournissant un couple suffisant aux roues motrices. Dans cette partie, nous vérifierons que la motorisation retenue permet bien d'atteindre cette vitesse.

## On donne:

## 3.1.1 Le FAST de la fonction déplacer le chariot



- 3.1.2 Comme on peut le lire sur le FAST ci-dessus, le mécanisme à étudier pour atteindre l'objectif fixé est le motoréducteur 12. remarque : La version du motoréducteur étudié est plus récente que celle qui est représentée sur le BAN1.
- 3.1.3 Vous trouverez en document annexe BAN3 le dessin d'ensemble du motoréducteur (sur la vue de face la coquille 1 a été enlevée), la nomenclature ainsi qu'une photo sur le document annexe BAN4, et le schéma cinématique sur le document réponse BR3.

#### **3.2**Travail demandé (répondre sur BR3)

Question 8 : Déterminer « les classes d'équivalence cinématique » dit aussi « groupes ou solides cinématiques » constituant le motoréducteur. On pourra suivre l'exemple déjà fait pour le groupe 2. On pourra également discerner le rotor et le stator du moteur. Vous n'indiquerez pas à quels groupes appartiennent les différents constituants des roulements à billes (les repères 7 et 8 n'apparaîtrons donc pas dans les différentes classes d'équivalence cinématique).

Question 9 : Réaliser le graphe des liaisons en précisant s'il y a lieu les centres des liaisons et leur axe principal.

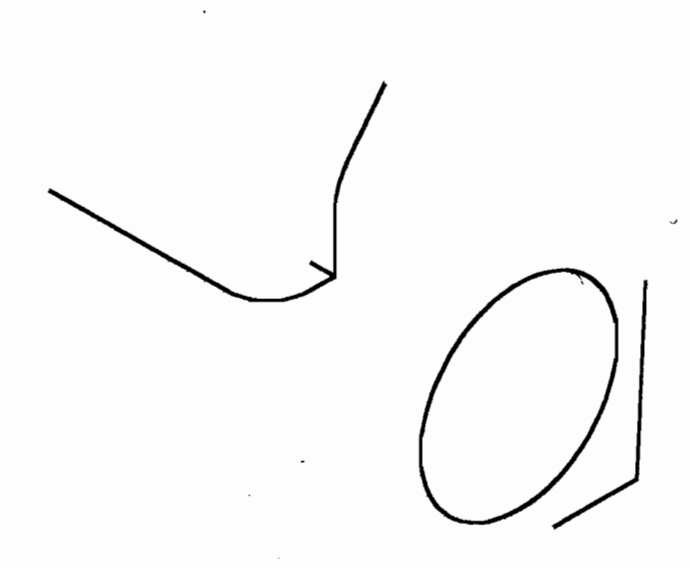


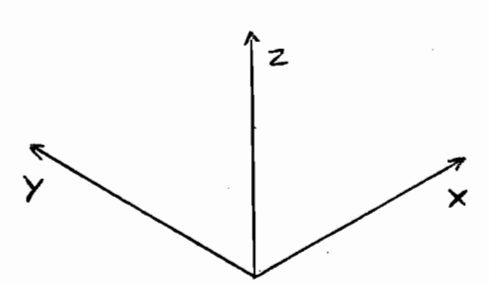
Question 10: Déterminer le rapport de transmission  $r = \frac{\omega_{roue}}{\omega_{materiel}}$ 

**Question 11**: Déterminer la vitesse de rotation ( $N_{roue}$  en tours par minute) d'une roue motrice liée à l'axe de transmission (utiliser les données inscrites dans la partie « observations » de la nomenclature)

**Question 12**: Les roues motrices ont un diamètre de 250mm, calculer la vitesse de déplacement du chariot en m/s. Conclure.





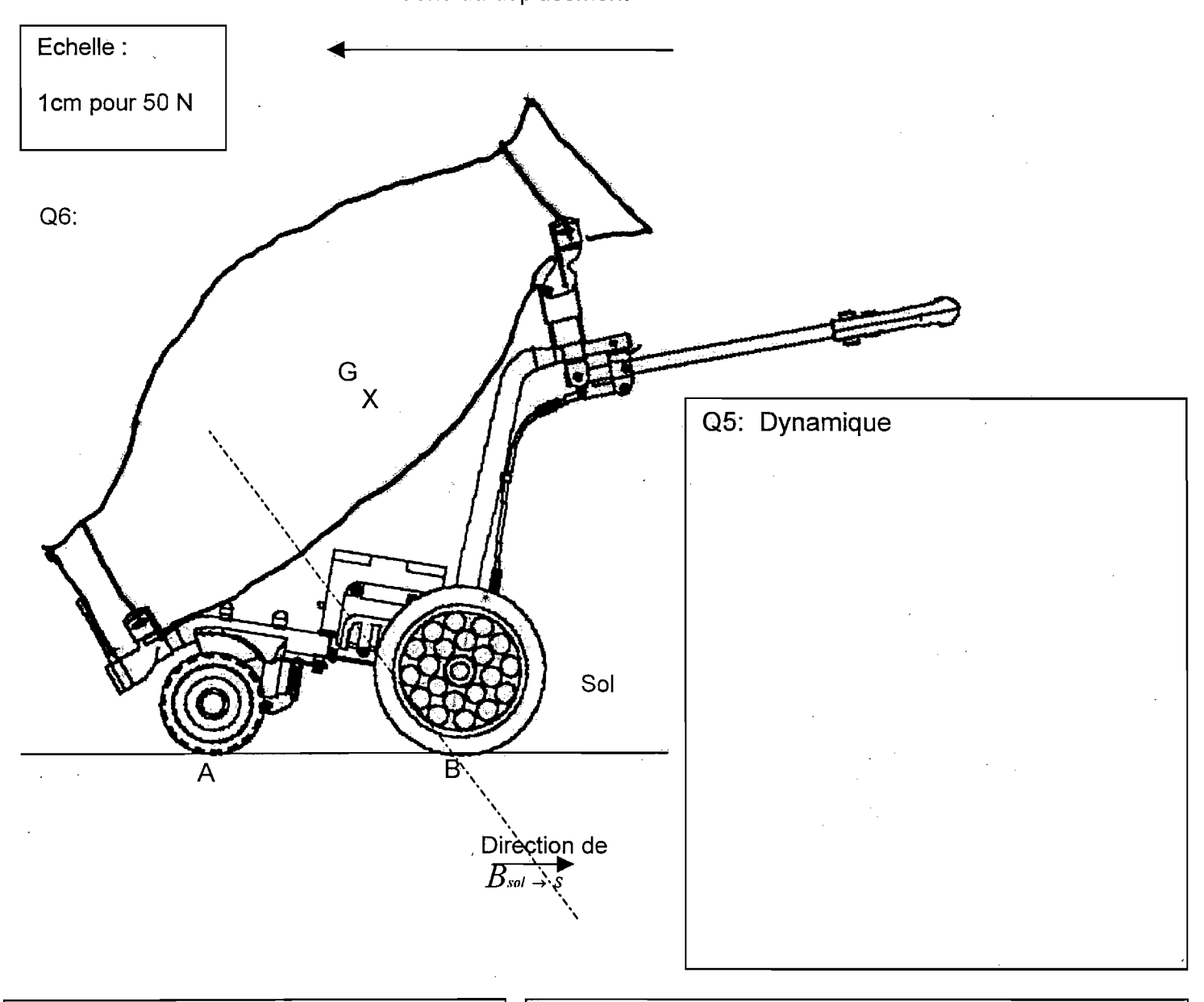


Format: A4 Ech. 1.22: 1	BACCALAUREAT GENIE ELECTRONIQUE session 2003 Chariot de golf	
	Chape	
IEELMER	Document réponse BR1/3	

## Partie 2 Etude Cynamical Custom Churéponse BR2

Docs à portée de mair

## Sens du déplacement



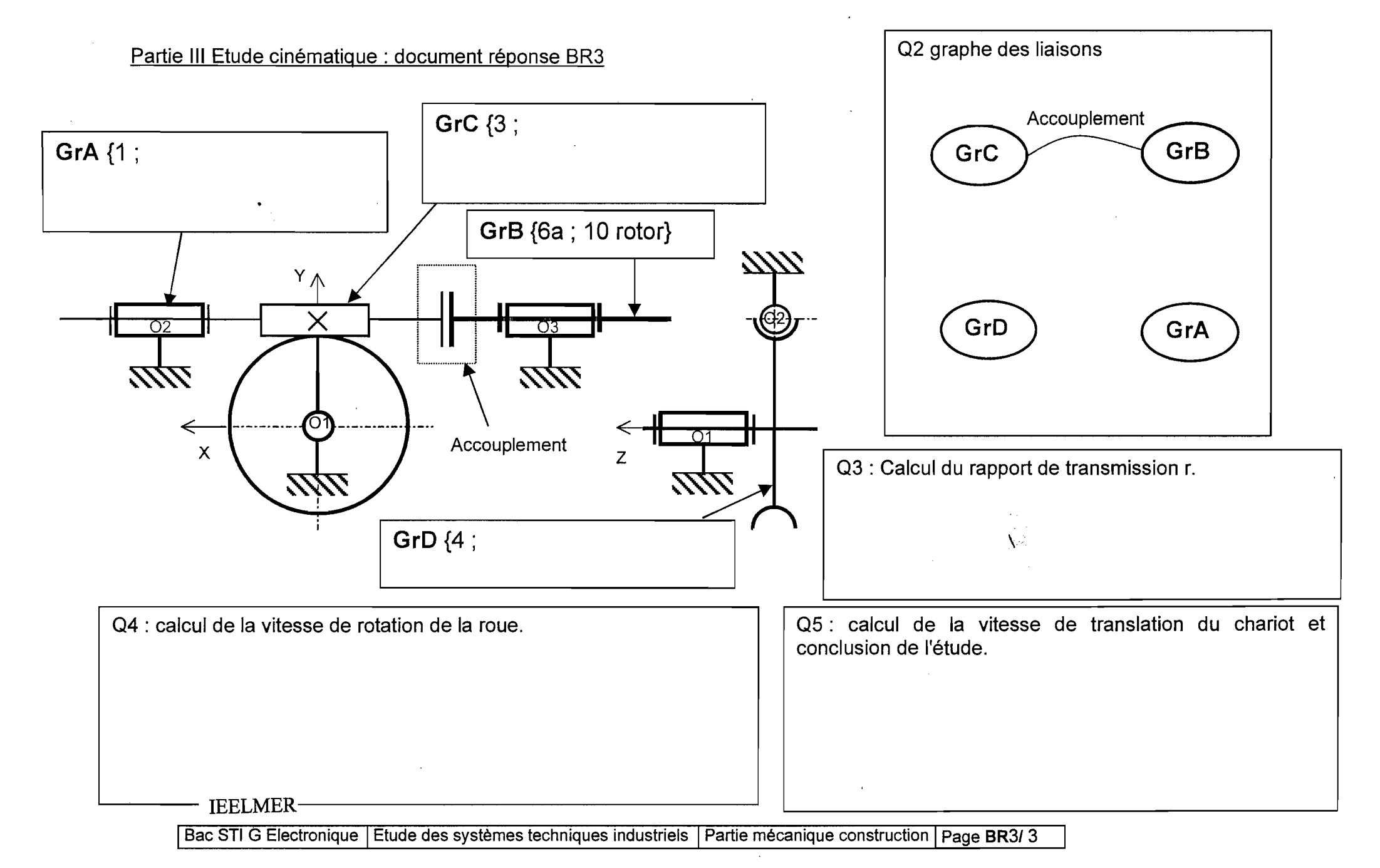
Q2 : Donner la valeur de P en newton précédée de sa forme algébrique.

Q4:

Q3 : Enoncé du principe fondamental de la statique:

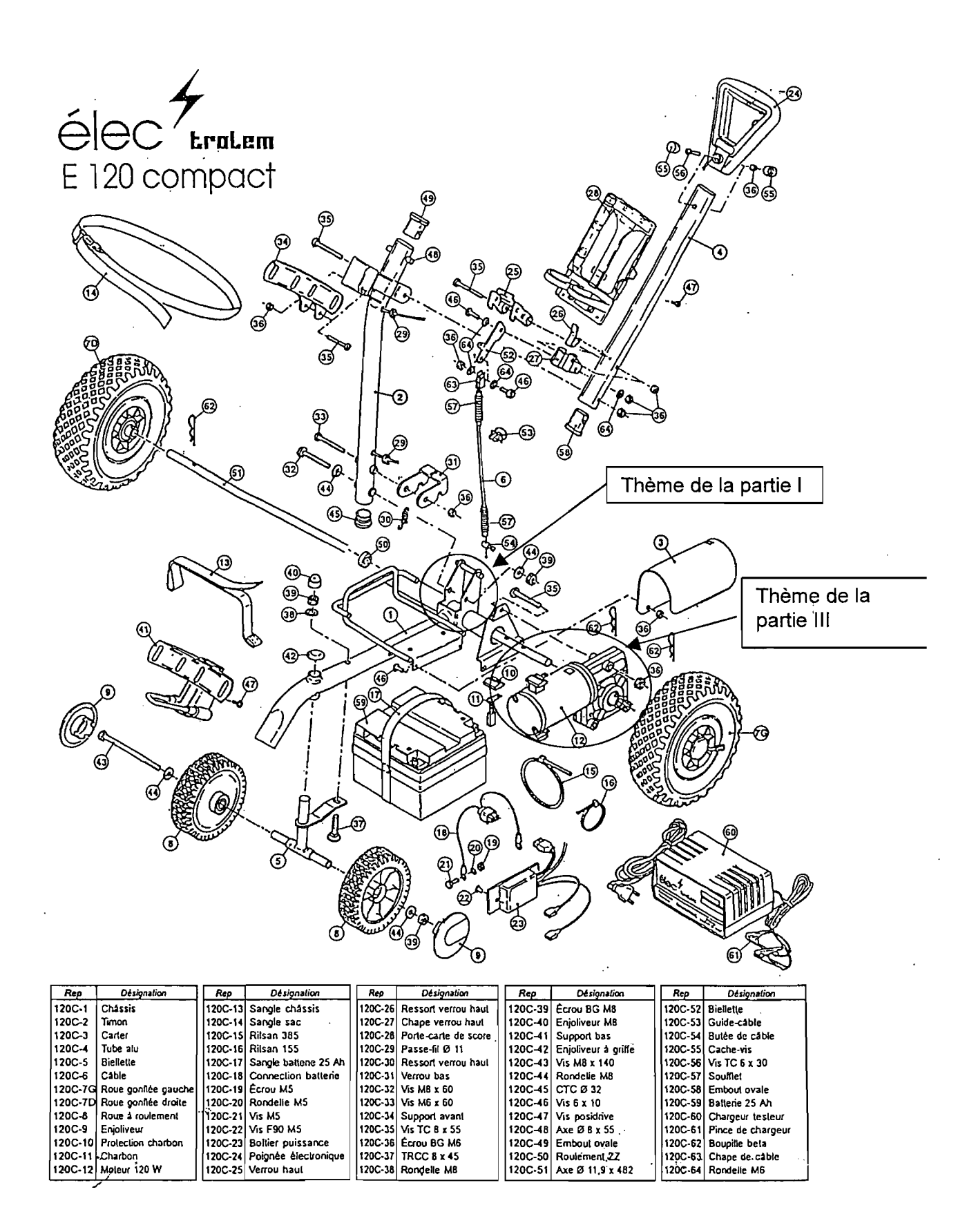
Q7 :

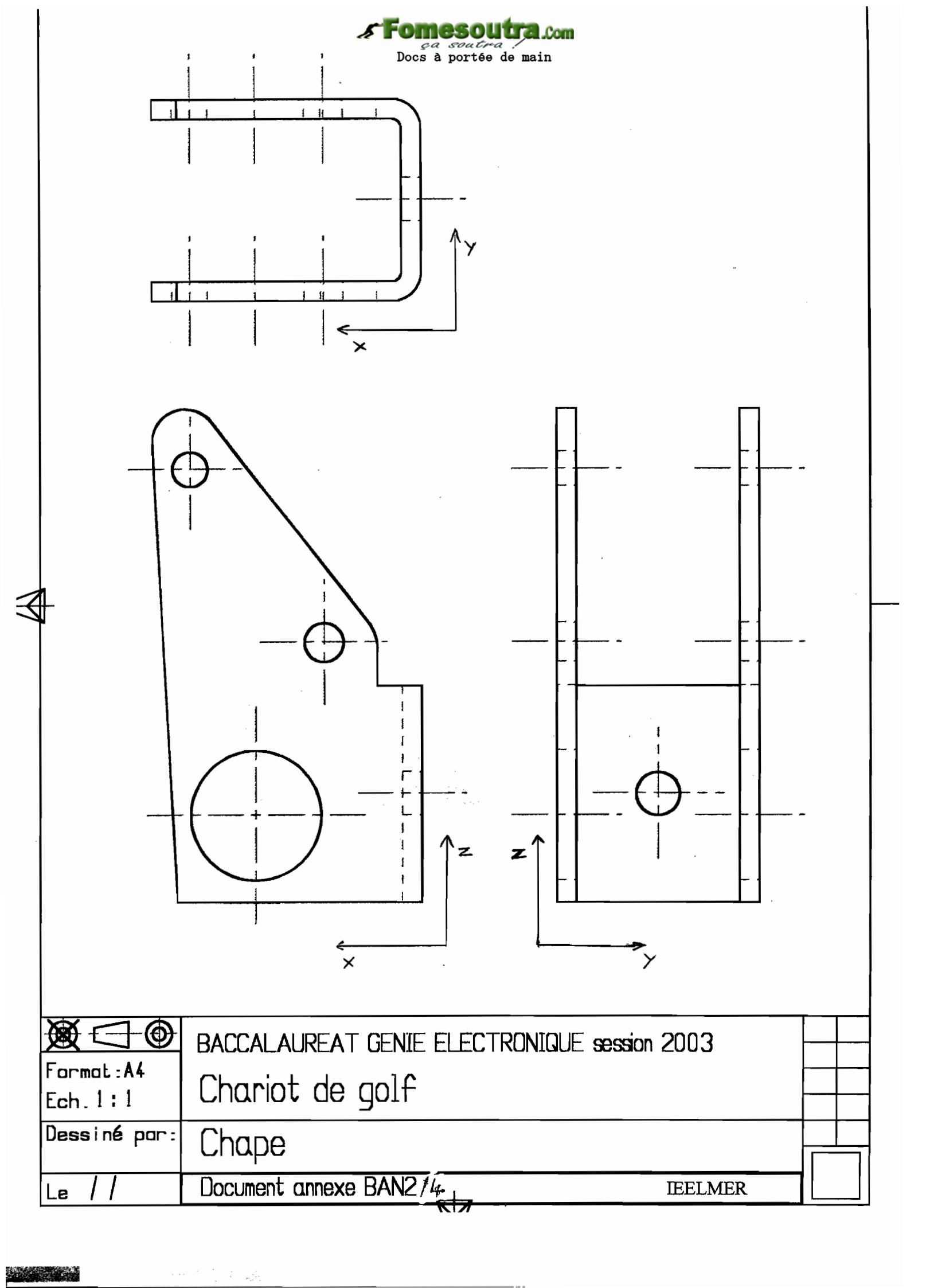


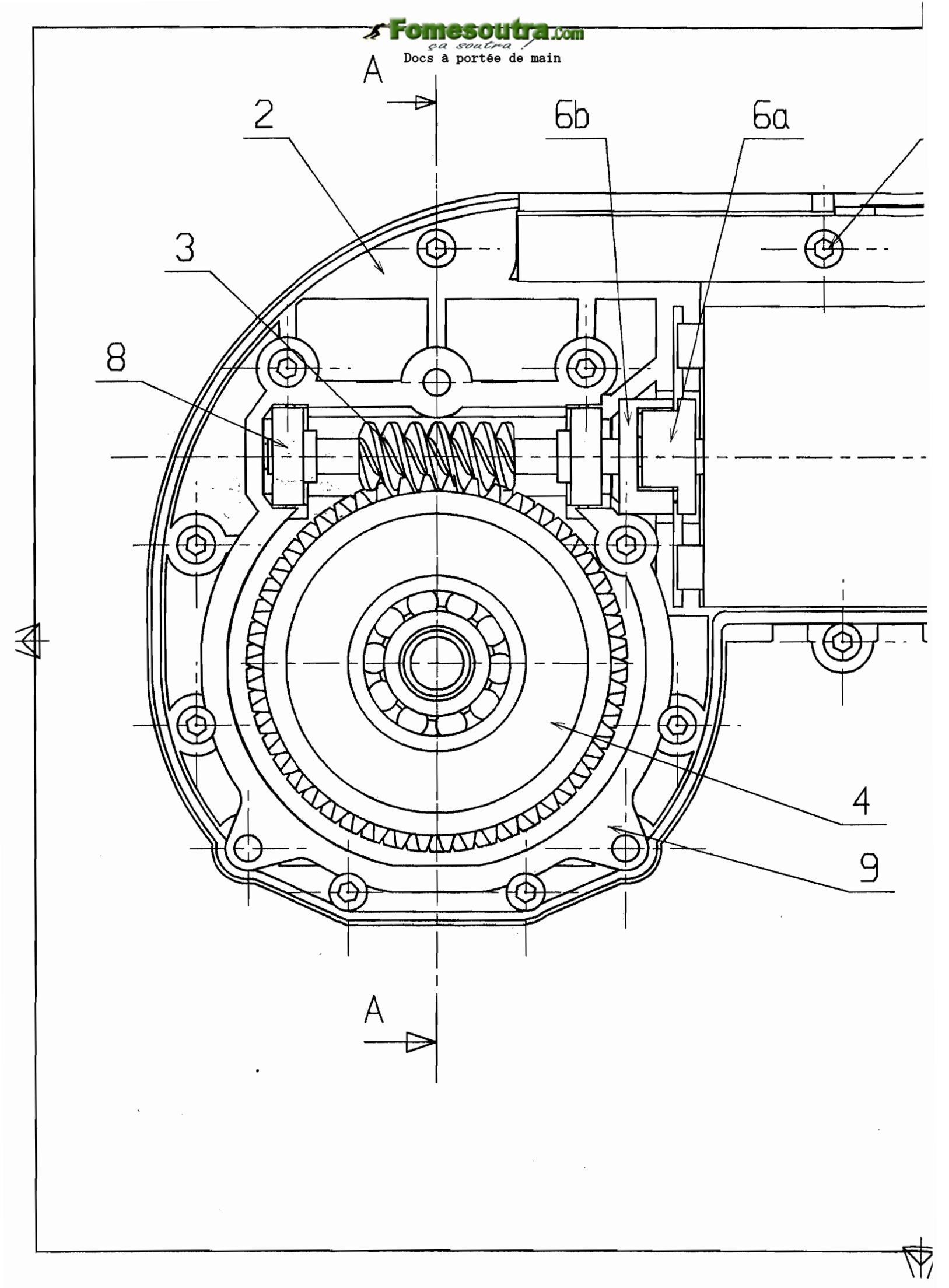


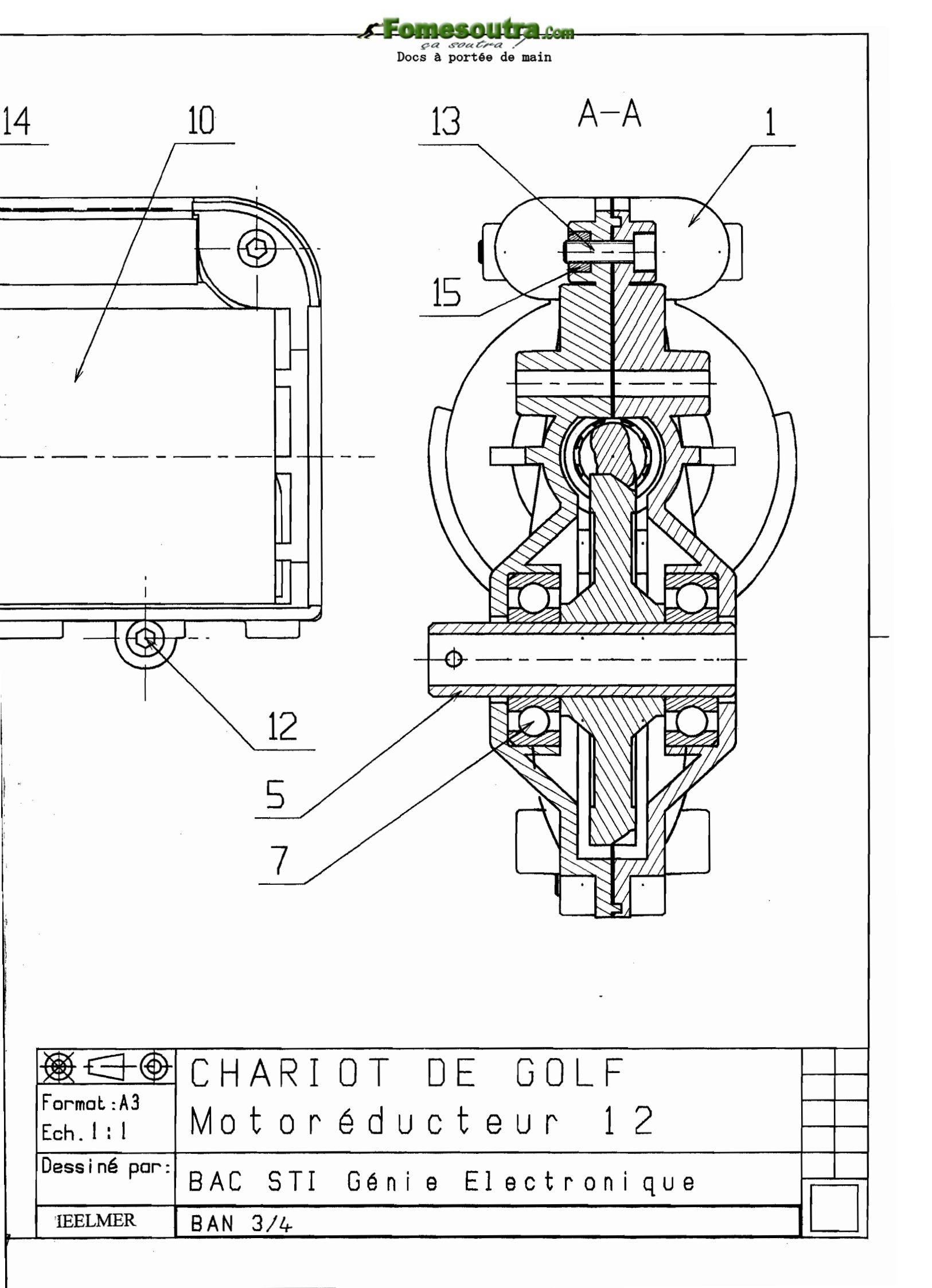


## Document annexe 1 : Eclaté du chariot et Nomenclature



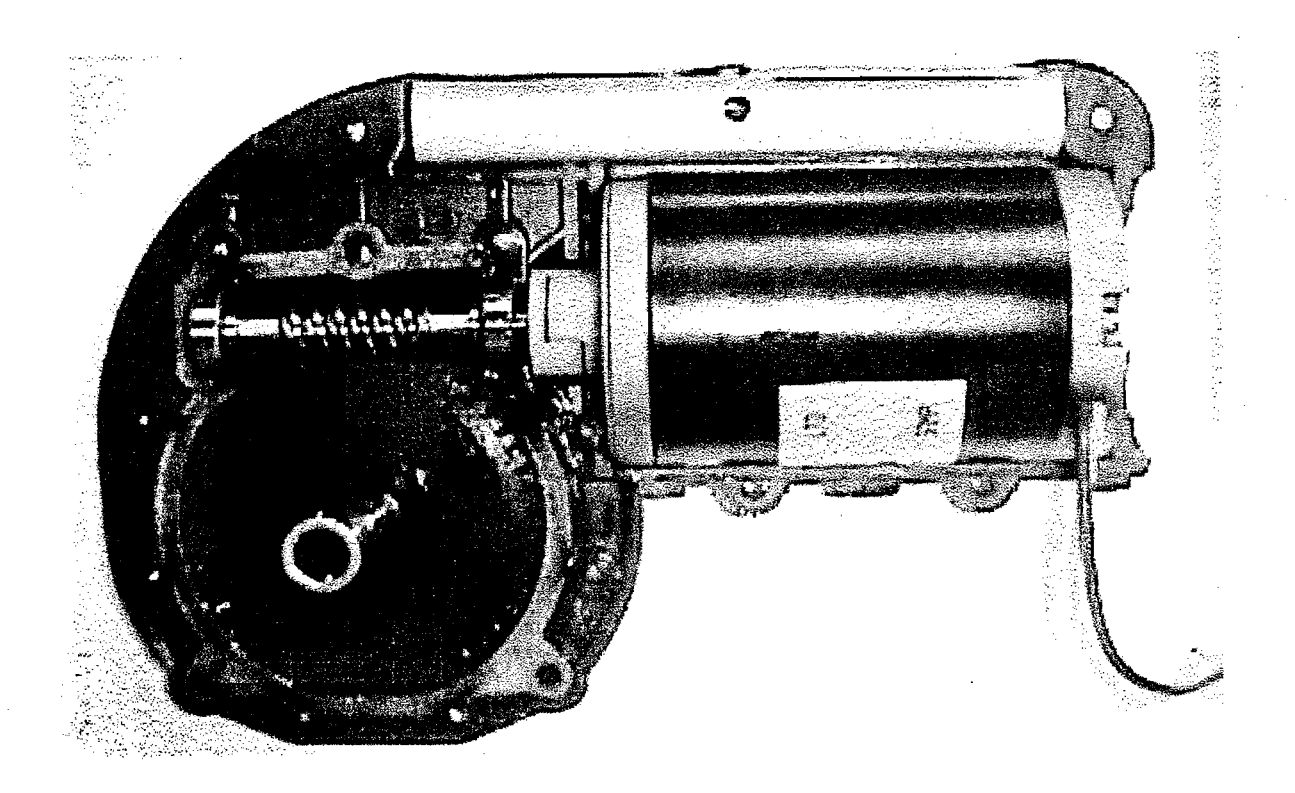








## Document annexe 4 : Photo et Nomenclature du réducteur 12



12-15	13	Ecrou freiné M5					
12-14	1	Vis C HC M5x55					
12-13	2	Vis C HC M5x16					
12-12	10	Vis C HC M5x20					
12-11	1	Plaque d'identification	Aluminium	·			
12-10	1	Moteur		N <sub>nomimal</sub> = 4600 tr/min ; U= 12 ; I=	1,5 A		
12-09	1	oint d'étanchéité					
12-08	2	Roulement BC 8x22x7 PP					
12-07	2	Roulement BC 17x40x12 PP					
12-06	1	Manchon d'accouplement	Delerin 100				
12-05	1	Axe de transmission					
12-04	1	Roue hélicoïdale		50 dents ; m = 1,6 ; Béta = 15,466	მ°		
12-03	1	Vis sans fin		2 filets ; m = 1,6 ; Béta = 74,534°			
12-02	1	Coquille gauche					
12-01	1	Coquille droite					
Rep	Nb	Désignation	Matière	Observations			
		Etabli par :					
		CHARIC	T 120C REDUCTE	EUR			
		1					
		N°			00		

Bac STI G Electronique	Etude des systèmes techniques industriels	Partie mécanique construction   Page BAN4/ 4



# Spécialité génie électronique Session 2003

## Etude des systèmes techniques industriels

## **CHARIOT DE GOLF**

## Partie électronique :

- Remarques et conventions : C1

- Questions et documents réponses : C2 à C10 et CR1 à CR3

- Documents annexes : CAN1 à CAN12



## Remarques:

- Les parties II, III, IV, V, VI, VII, VIII, IX sont indépendantes
- Les durées partielles conseillées sont :

Partie II: 10 min
Partie III: 40 min
Partie IV: 20 min
Partie V: 40 min
Partie VI: 50 min
Partie VII: 25 min
Partie VIII: 25 min
Partie IX: 60 min

- Respecter la numérotation des questions pour répondre sur votre copie
- Rendre tous les documents réponses même s'ils ne sont pas complétés

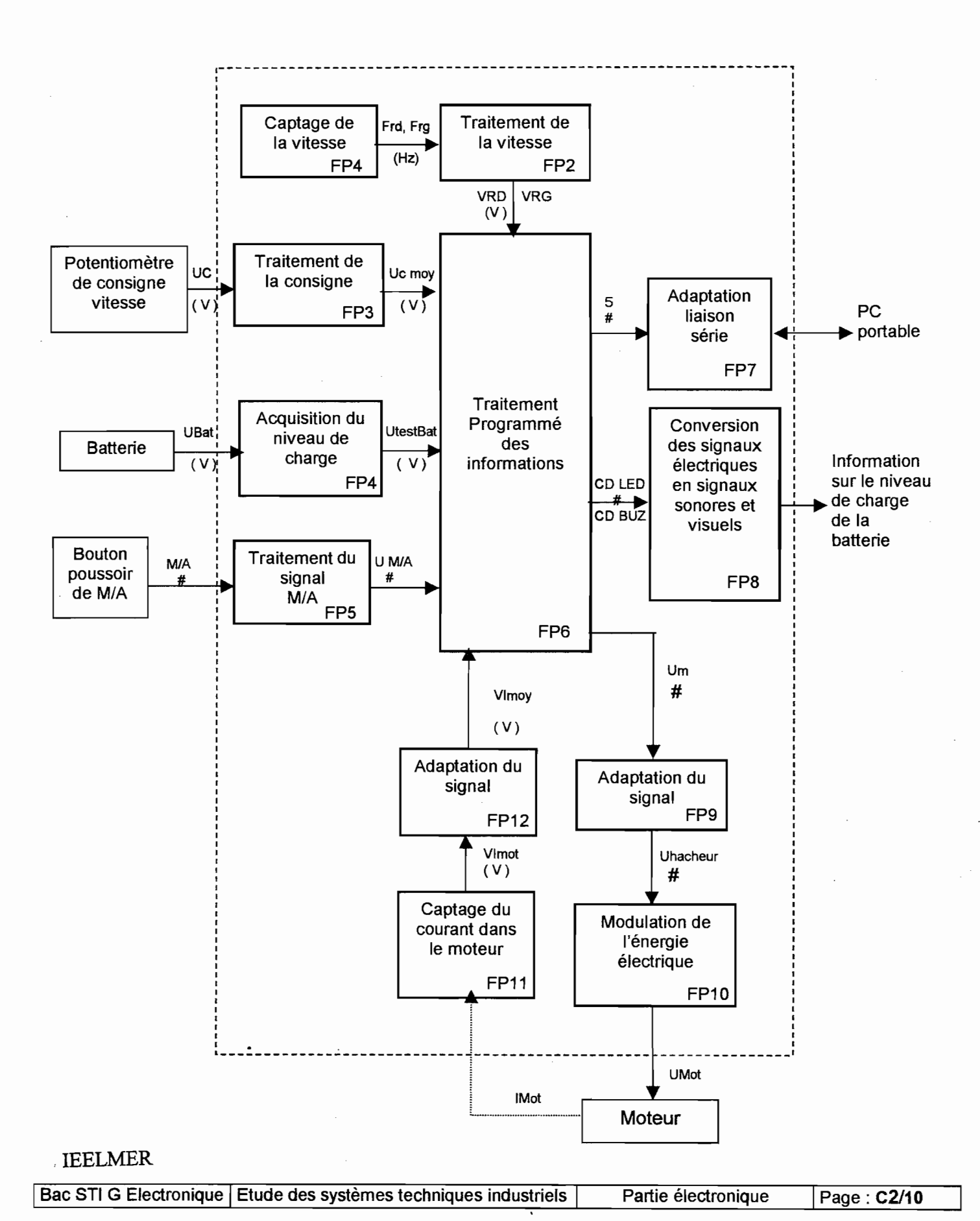
## Conventions adoptées pour toutes les fonctions :

- Toutes les tensions sont référencées par rapport à la masse
- Les amplificateurs intégrés sont considérés comme étant parfaits
- Valeurs normalisées pour les résistances dans la série E12 :

100; 120; 150; 180; 220; 270; 330; 390; 470; 560; 680; 820



## I) Schéma fonctionnel de degré1



200



## II) Questions relatives à la partie A, analyse fonctionnelle

A l'aide du dossier de l'analyse fonctionnelle, on désire connaître quelques fonctionnalités du chariot de golf.

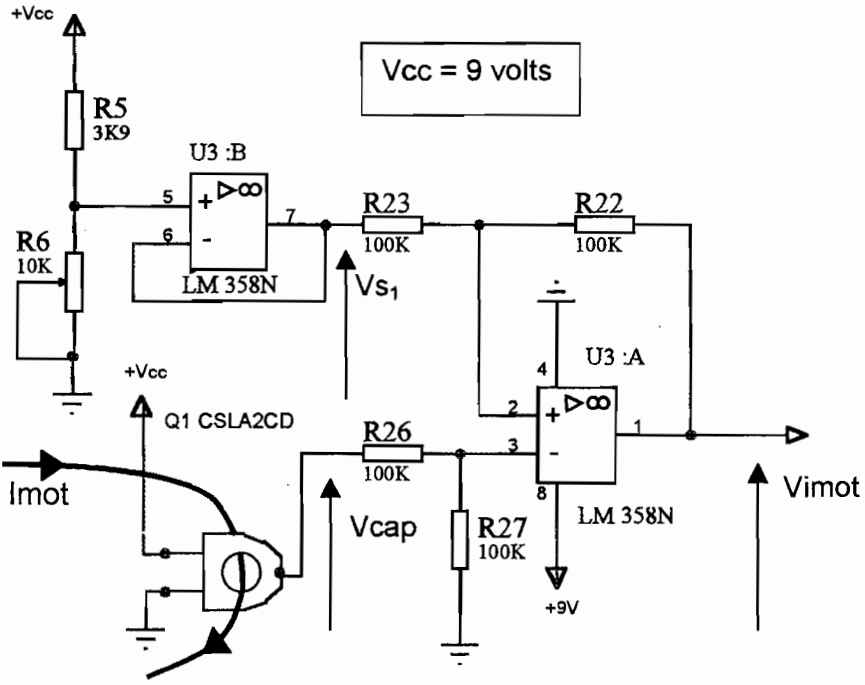
- 1) Expliquer pourquoi, au démarrage, il est nécessaire d'augmenter progressivement la vitesse du chariot jusqu'à la vitesse souhaitée (consigne) ?
- 2) Quel est l'organe qui permet de régler la consigne de vitesse du chariot ?
- 3) Que se passe t-il lorsque la batterie atteint une valeur trop faible?

## III ) Etude de FP11 : Captage du courant dans le moteur

On désire avoir une image de la vitesse de rotation du moteur afin de savoir si le moteur tourne normalement sans surintensité (et donc sans surchauffe).

Pour se faire on utilise un capteur à effet Hall et des composants électroniques associés selon le schéma structurel suivant :

#### Schéma structurel de FP11



- 4) En vous référant aux documents constructeurs page CAN1, déterminer la valeur de l'offset introduit par le capteur CSLA2CD.
- 5) On règle le potentiomètre R6 = 3,9 $K\Omega$ . Donner l'expression de VS1 en fonction de Vcc.
- 6) Donner l'expression de Vimot en fonction de Vcc et Vcap.
- on sait que : Vcap = Vutile + Voffset avec Vutile = Valeur réelle de la tension image du moteur.
   Exprimer Vimot en fonction de Vutile.
- 8) Quelle est la modification introduite en Vimot, par l'ensemble structurel formé des deux amplificateurs intégrés et les composants associés, sur le signal issu du capteur (Vcap) ?
  IEELMER

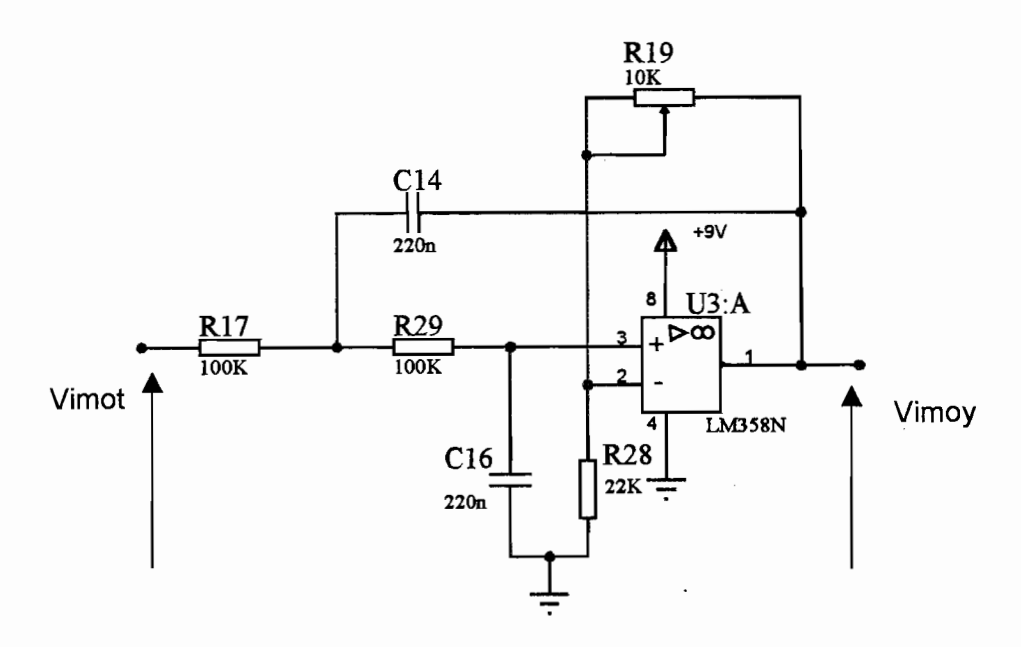
Bac STI G Electronique Etude des systèmes techniques industriels Partie électronique Page : C3/10



## IV ) Etude de FP12 : Adaptation du signal

Pour obtenir une Image de la vitesse du moteur sous forme de tension continue, on utilise la structure autour d'un filtre de SALLEN KEY. On se propose au cours de cette étude de vérifier que cette fonction permet bien d'obtenir l'image désirée de la vitesse.

#### Schéma structurel de FP12



# En vous aidant de la courbe de réponse en fréquence du filtre page CAN2 en ANNEXE (page CAN 2/12) :

- 9) Quel est l'ordre du filtre ? Justifier votre réponse.
- 10) Déterminer l'ordre de grandeur de la fréquence de coupure à -3 db.
- 11) Déterminer la valeur du gain statique du filtre en db, G<sub>0</sub> (db ).
- 12) Sachant que :  $G_0$  (db) = 20log  $A_0$  avec  $A_0$  = Amplification = Vimoy/Vimot pour F = 0. Calculer l'amplification  $A_0$ .

#### A l'entrée du filtre on a le signal suivant



13) Lorsqu'on applique ce signal à l'entrée du filtre, on obtient en sortie une tension continue de valeur :

$$Vimoy = 2.09 V$$

Etablir la relation Vimoy =  $f(A_0, Vimot_{moy})$ . Justifier la valeur numérique de Vimoy cidessus.

14) Quelle est la fonction du filtre?

**IEELMER** 

Bac STI G Electronique Etude des systèmes techniques industriels Partie électronique Page : C4/10



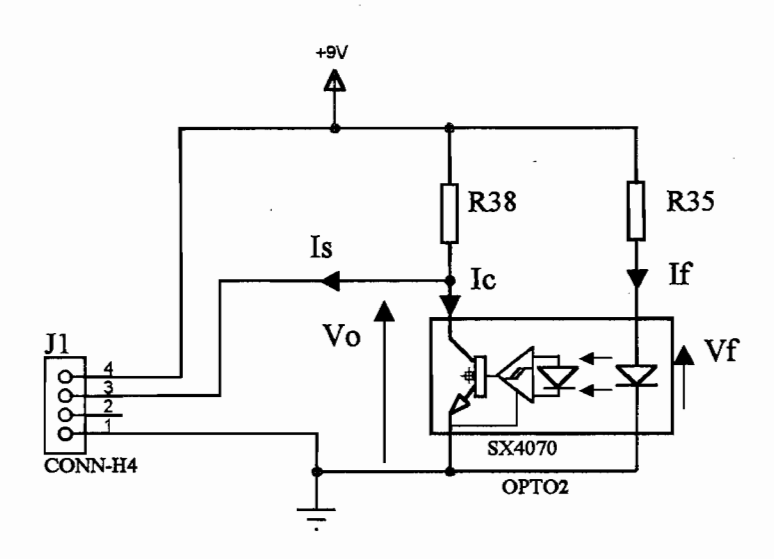


## V) Etude de FP1: Captage de la vitesse

La fonction sert à convertir la vitesse de rotation des roues en signal électrique au moyen d'un capteur à fourche.

Un disque cranté est fixé sur l'axe des roues et passe dans la fourche du capteur.

## Schéma structurel de FP1 ( pour la roue droite )



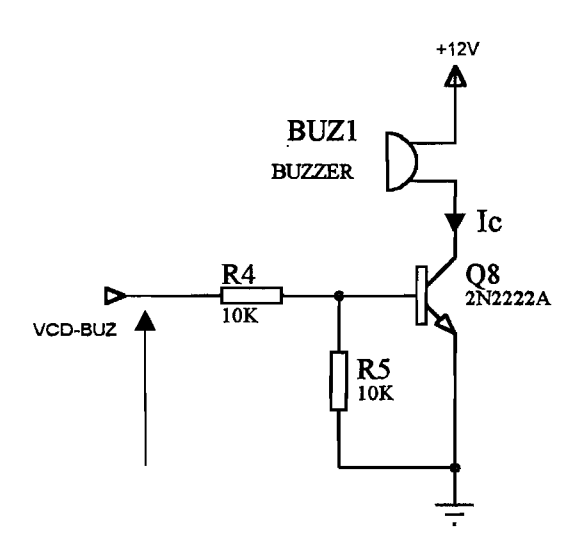
- Vo : C'est la tension de sortie du capteur, elle prend la valeur Vol à l'état bas et Voh à l'état haut.
  - 15) Expliquer comment, grâce à ce capteur, on obtient une information image de la vitesse de rotation des roues.
  - 16) On veut un courant dans la diode émettrice de : If = 20 mA . En vous aidant du document constructeur page CAN3, déterminer la valeur de Vf correspondante ( à 25 °C ).
  - 17) Calculer la valeur de R35 pour obtenir ces valeurs. On choisira R35 dans la série E12.
  - 18) Compléter le chronogramme sur le document réponse page CR1. (On prendra la valeur typique de Vol et l'on supposera ls = 0).



# VI) Etude de FP8 : Conversion des signaux électriques en signaux sonores et visuels.

La partie microcontrôleur génère des signaux d'alertes numériques, ces signaux sont adaptés de façon à obtenir un signal visuel et sonore. L'adaptation se fait au moyen de transistors. On se propose de vérifier le fonctionnement en commutation de l'un de ceux-ci.

#### Schéma structurel de la partie sonore



#### Cahier des charges concernant le buzzer :

Valim = 12V

Iconso < 20mA

Pression sonore < 80 dB à 6m

Montable sur circuit

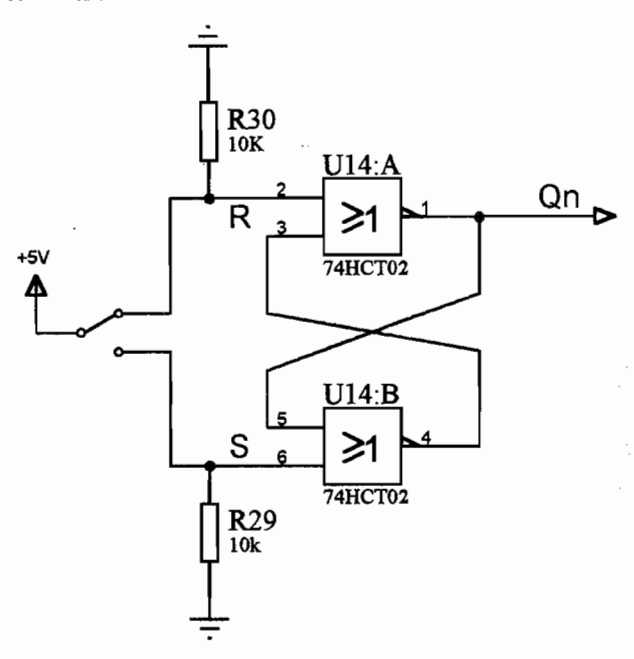
- 19) Compte tenu du cahier des charges et sachant que la pression sonore perd 3dB tout les 3 mètres, choisir un buzzer parmi ceux proposés page CAN4/12.
- 20) Compte tenu des caractéristiques de ce capteur et des caractéristiques du transistor Q8 (document constructeur page CAN 5/12), montrer que, lorsque VCD-BUZ = 5V, ce transistor est à l'état saturé.



## VII) Etude de FP5 :Traitement du signal M/A

Le signal de commande de l'avance du chariot est généré par un bouton poussoir. Lorsqu'on appui, le chariot avance.

#### Schéma structurel de FP5



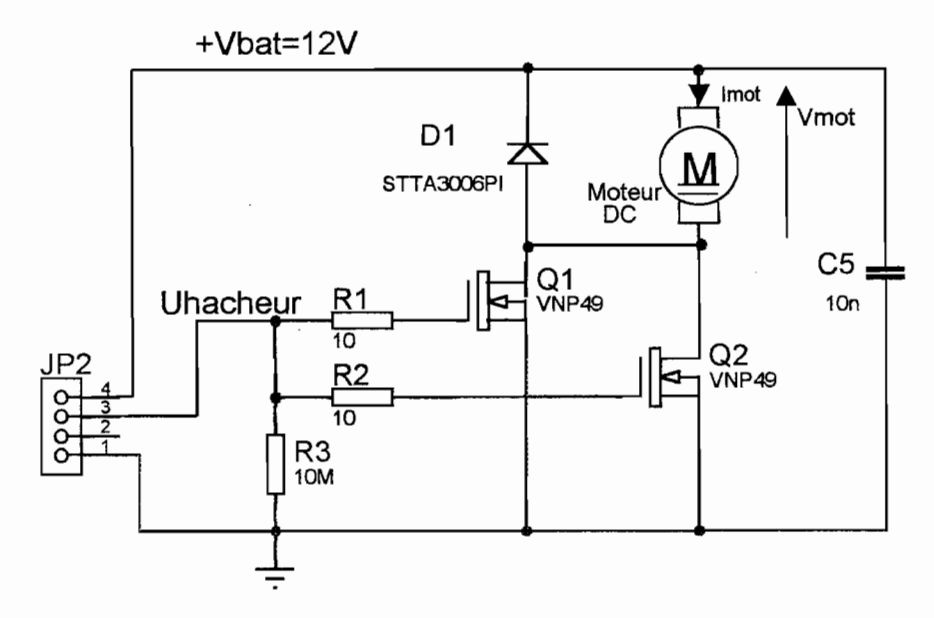
- 21) Etablir la table de vérité des entrées R et S et de la sortie Qn. (On notera Qn-1 l'état précédant de Qn ).
- 22) Compléter le chronogramme sur le document réponse CR1.
- 23) Quel est le rôle de cet agencement structurel ?



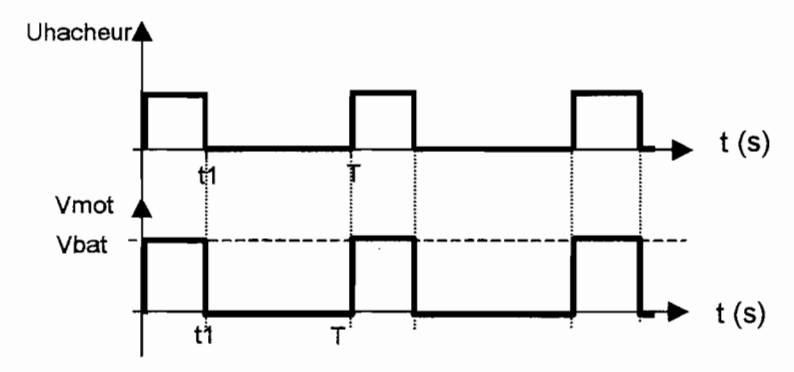
## VIII) Etude de FP10 : Modulation de l'énergie électrique.

Pour commander le moteur on utilise des transistors NMOS que l'on commande en modulation de largeur d'impulsion (MLI) afin d'avoir un contrôle de la vitesse. Les caractéristiques électriques du moteur et la fréquence du signal de commande MLI sont telles que la vitesse de rotation du moteur demeure proportionnelle à la valeur moyenne de sa tension d'alimentation.

#### schéma structurel de FP10



- 24) Quel est le rôle de la diode de roue libre STTA300611 (Document constructeur page CAN6) ? Dans quel cas est-elle passante (justifiez votre réponse) ?
- 25) Que représente le R<sub>DS(on)</sub> des transistors (Document constructeur page CAN7) ?
- 26) Lorsque les deux transistors sont passant, que vaut la résistance en série avec le moteur ?
- 27) Calculer Vmot lorsque les deux transistors sont passant, on prendra lmot = 10A.
- 28) Lorsqu'on applique le signal suivant sur l'entrée Uhacheur, on obtient le signal Vmot simplifié ci-dessous : ( on néglige les phénomènes dus à la diode et aux R<sub>DS(on)</sub> )



Donner l'expression du rapport cyclique  $\alpha$ .

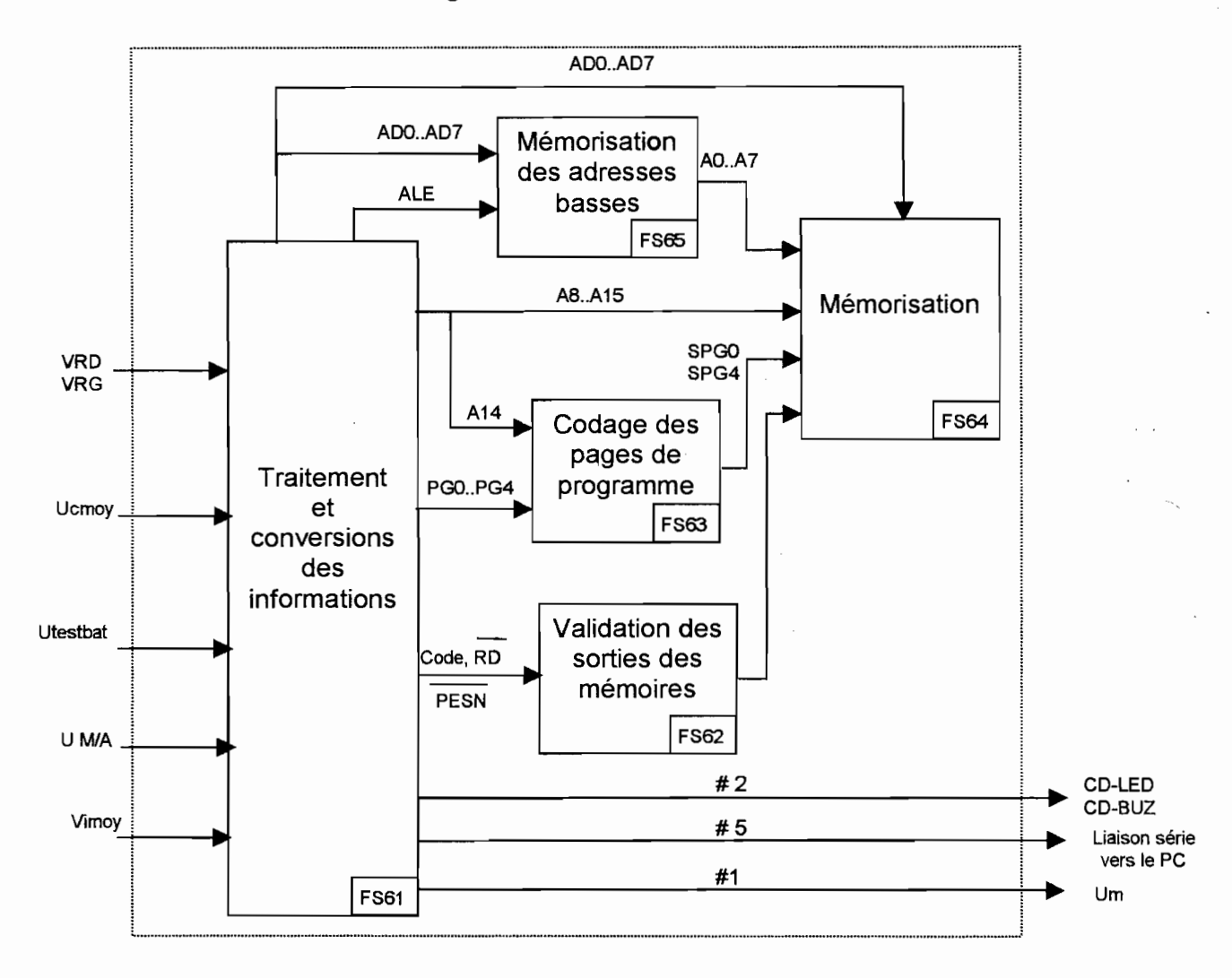
- 29) Donner l'expression de la valeur moyenne de Vmot (Vmot<sub>mov</sub>) en fonction de Vbat et  $\alpha$ .
- 30) En faisant varier le rapport cyclique, on fait varier la vitesse du moteur, pourquoi ?
- 31) Donner la valeur de  $\alpha$  pour avoir une vitesse maximale.

Bac STI G Electronique	Etude des systèmes techniques industriels	Partie électronique	Page : C8/10



## IX) Etude de FP6 : Traitement programmé des informations

#### Schéma fonctionnel de degré 2



## Le schéma structurel de FP6 est page CR2/3

32) Délimiter, en les entourant sur le document réponse page CR2, les structures associées aux différentes fonctions secondaires qui composent FP6.

#### Etude de la structure autour du 74HCT573

- 33) Donner les trois états possibles des sorties du circuit (document constructeur page CAN8/12).
- 34) OE étant à la masse, quel est le rôle du signal appliqué sur l'entrée « LE » du circuit ?
- 35) Les adresses basses et les données sont sur le même bus ( AD0 à AD7). Quelle est la fonction du 74HCT573 ?

Bac STI G Electronique | Etude des systèmes techniques industriels | Partie électronique | Page : C9/10

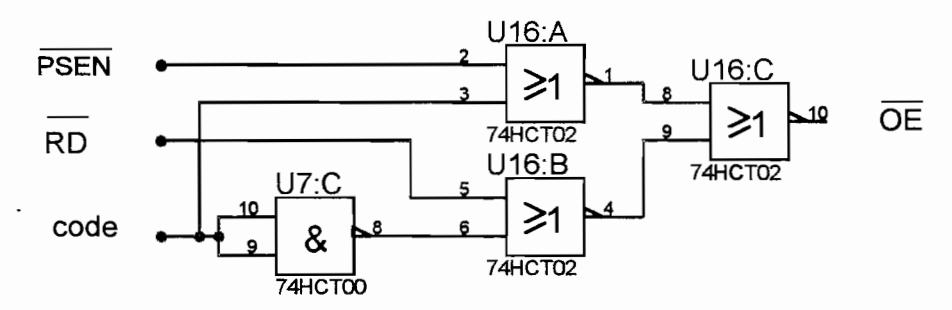


# Etude des mémoires : AT29C256 et HY628400 ( document constructeur page CAN9 et CAN10 )

- 36) Pour l'AT29C256, que représente t<sub>ACC</sub>, pourquoi cette donnée est importante ?
- 37) Donner la capacité maximale, en Kilo octets et en Kilo bits, de ces deux mémoires.
- 38) Quelle est l'entrée permettant de sélectionner ces mémoires ?
- 39) En déduire, en complétant le tableau du document réponse CR 3/3, les adresses de début et de fin de chacune d'elles.
- 40) Compléter, sur ce même document réponse, la cartographie correspondante.
- 41) La taille de la mémoire HY628400 est supérieure à celle directement adressable par le processeur, on l'a donc paginée à l'aide des entrées PG0 à PG4. Quelle est la taille d'une page en Kilo octets ?
- 42) Combien de pages y a t-il pour obtenir la capacité totale ?
- 43) Décrire, sous la forme d'une liste, la succession des opérations qui conduisent à l'écriture d'une donnée dans la mémoire AT29C256.

#### Etude de la validation des sorties des mémoires

#### Schéma structurel:



44) Donner l'équation simplifiée de OE en fonction des entrées PSEN, RD, code.

# Etude du convertisseur CAN dans le microcontrôleur 80C552 ) ( document constructeur page CAN11 et CAN12 )

Les informations issues des principaux capteurs sont des grandeurs de type analogique. Pour que le microcontrôleur puisse les traiter, il faut les convertir en grandeurs numériques. Le convertisseur utilisé pour ce faire est intégré dans le microcontrôleur.

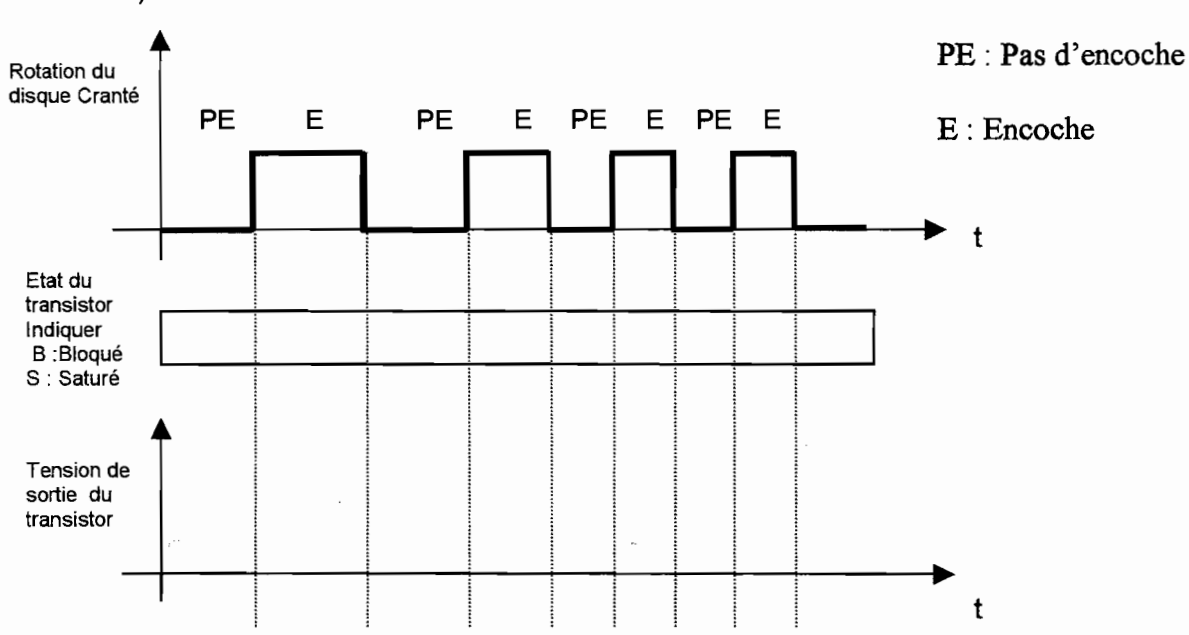
- 45) Sachant que AVREF+ = 5V et AVREF- = 0V et que l'on obtient la valeur \$3FF en sortie pour 5V en entrée, déterminer la valeur (en Volt) de la variation de la tension d'entrée qui entraîne un changement de 1 de la valeur de la grandeur de sortie.
- 46) Lorsque le chariot avance à une vitesse moyenne, on obtient une tension VRD = 1.83V. Donner, en binaire, la valeur numérique correspondante en sortie du CAN.
- 47) En vous aidant du diagramme de fonctionnement du convertisseur page CAN11/12, donner la fonction du multiplexeur 1 vers 8.

Bac STI G Electronique	Etude des systèmes techniques industriels	Partie électronique	Page : C10/10

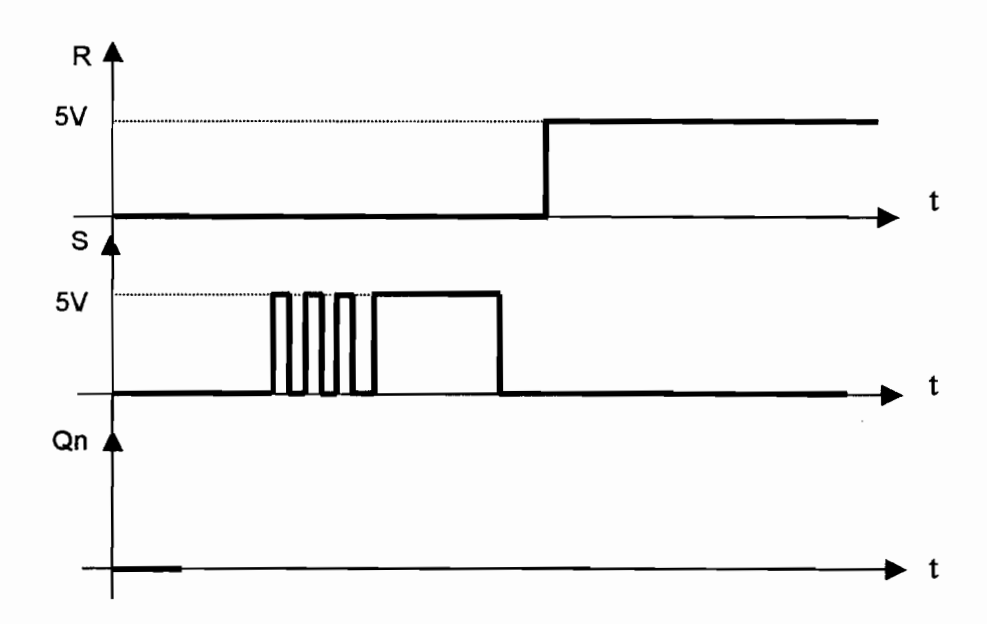


## **DOCUMENT REPONSE N°1**

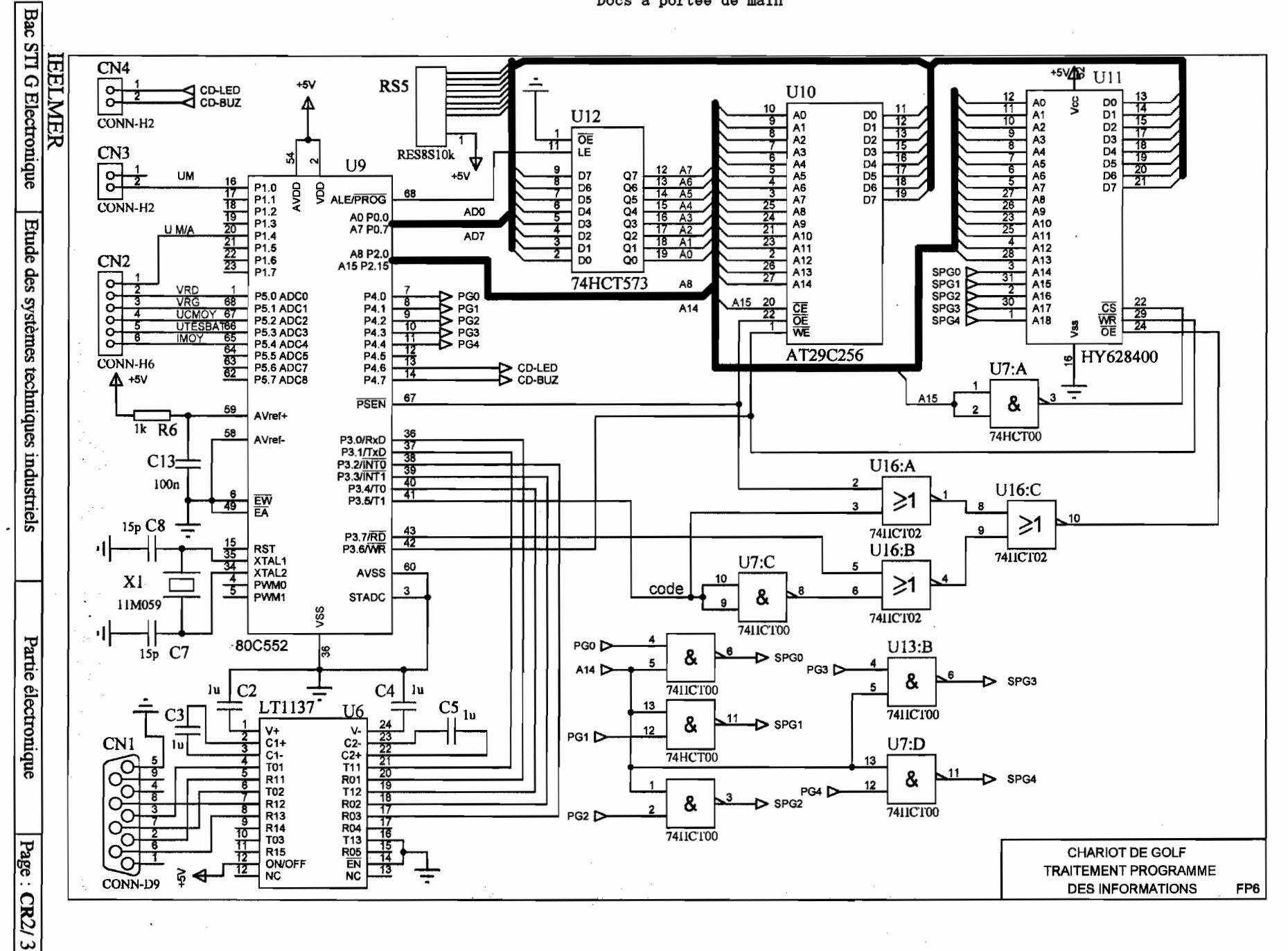
## Question 18)



## Question 22)



Bac STI G Electronique	Etude des systèmes techniques industriels	Partie électronique	Page: CR1/3





## **DOCUMENT REPONSE N°3**

QUESTION 39)

Circuit		A15	A14	A13	A12	A11	A10	A9	A8	A7	A6	A5	<b>A4</b>	<b>A3</b>	A2	A1	A0	Hexadécimal
EPROM	Début																	
	Fin																	
RAM	Début																	
	Fin																	

QUESTION 40)

	Nom du circuit
\$FFFF-	sélectionné
\$E000-	
\$C0 <b>00</b> -	
\$A0 <b>00</b> _	
\$8000_	
\$6000-	
\$4000-	
\$2000_	
\$0000	

Bac STI G Electronique	Etude des systèmes techniques industriels	Partie électronique	Page : CR3/3
Dae 511 d Diccuomque	Etade des systèmes desimiques maustress	1 artic ciccutomque	Page: CR3/3



# Spécialité génie électronique Session 2003

## **DOCUMENTS ANNEXES**

**CHARIOT DE GOLF** 

PAGES: CAN1 à CAN12



**Solid State Sensors** 

CSLA2CD

**CS** Series

Linear Current Sensors

#### Capteur de courant à effet Hall



## Caractéristiques :

- Sortie linéaire
- Réponse rapide
- Sortie isolée de l'entrée
- Température de fonctionnement
   -25 à 85 °C

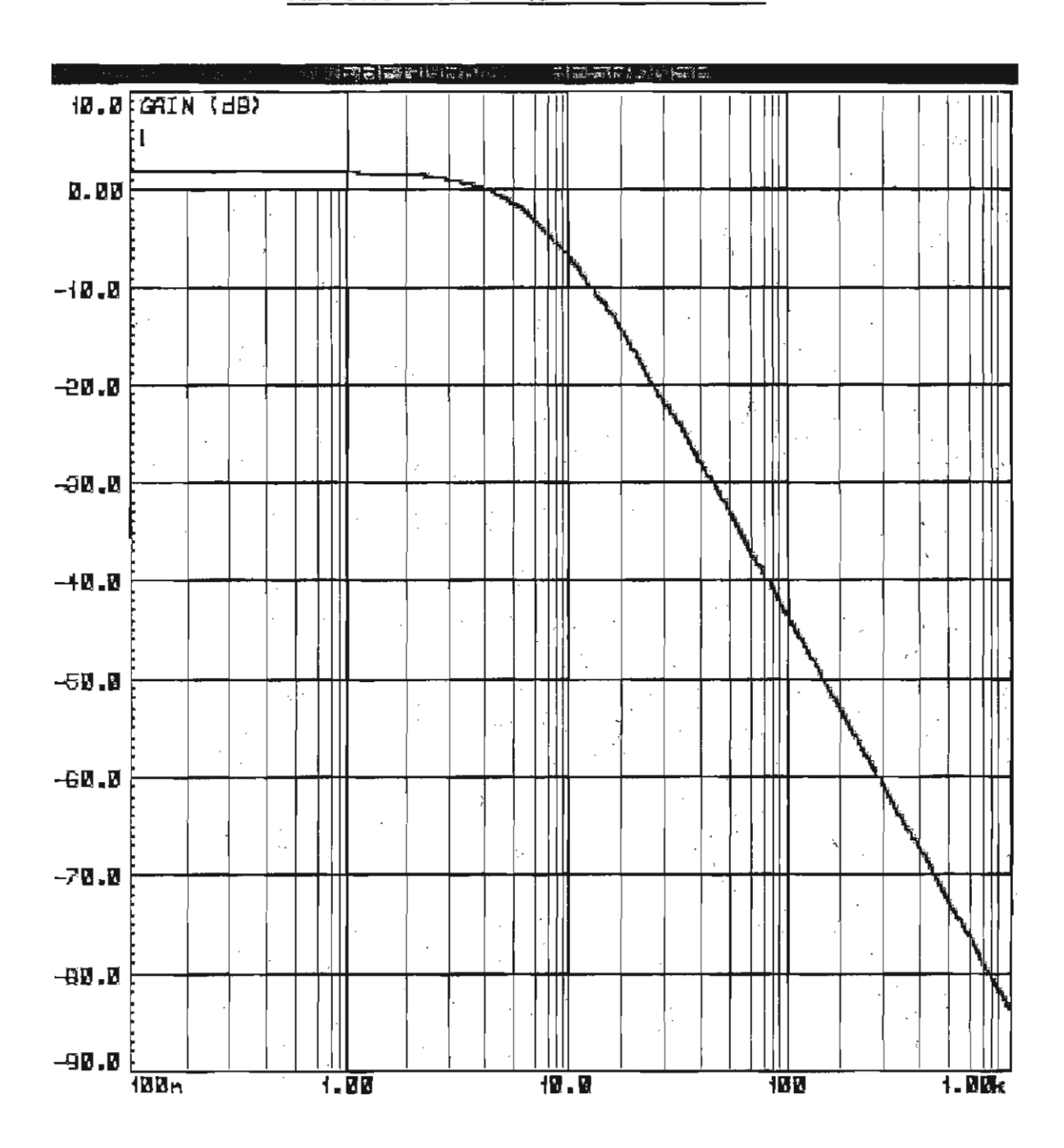
## BOTTOM MOUNT WITH SS9 SENSOR, SINK/SOURCE OUTPUT

Catalog	Mīg. Dim.			Sensed Current (Amps	Offset Volt	Sensitiv mV•N° At 8 V0	•	Offset Shift	Response Time
Listing	Flg.	(Volts DC)	(mA Max.)			Nominal ± TOL		(%/°C)	(μ Sec.)
CSLA2CD	1	6 to 12	20	72	Vcc/2	32.7	3.0	±.02	3
CSLA2CE	1	6 to 12	20	92	Voc/2	26.1	2.1	±.02	3
CSLA2DE	2	6 to 12	20	92	Vcc/2	25.6	2.2	±.02	3
CSLA2CF	1	6 to 12	20	125	Vcc/2	19.6	1.3	±.02	3 .
CSLA2DG	2	6 to 12	20	150	Vcc/2	16.2	1.1	±.02	3
CSLA2DJ	2	6 to 12	20	225	Voq!2	8.7	0.6	±.020	3
CSLA2DH	2	6 to 12	20	235	Vcq/2	9.8	1.1	±.0125	3
CSLA2EJ	1a.	6 to 12	20	310	Voc/2	7.6	0.7	±.0125	3
CSLA2DK	2	6 to 12	20	400	Voc/2	5.8	0.5	±.0125	3
CSLA2EL	1a	6 to 12	20	560	Voc/2	4.3	0.4	±.0125	3 ·
CSLA2EM	18.	6 to 12	20	765	Vac/2	3.1	0.3	±.007	2
CSLA2EN.	1a	6 to 12	20	950	Voc/2	2.3	0.2	±.007	3

NOTE: When monitoring purely AC current with zero DC component, a capacitor can be inserted in series with the output of the current sensor. The capacitor will block out the effect of the temperature variation of the offset voltage which increases the accuracy of the device.



## REPONSE EN FREQUENCE DU FILTRE





#### OMROD

# EE-SX3070/-SX4070

# Photomicrosensor

(Transmissive)

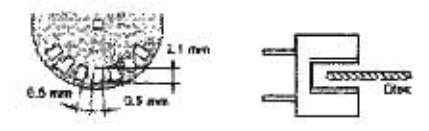
#### ■ Features

- Incorporates an IC chip with a built-in detector element and amplifier.
- Incorporates a detector element with a built-in temperature compensation circuit.
- A wide supply voltage range: 4.5 to 16 VDC.
- Directly connects with C-MOS and TTL.

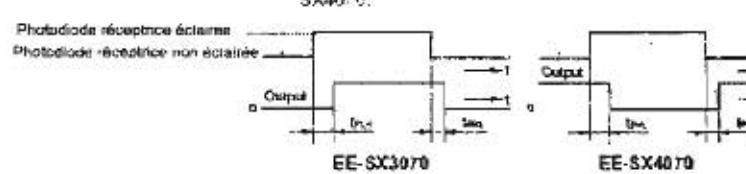
Internal Circuit

- High resolution with a 0,5-mm-side sensing aperture.
- . Dark ON model (EE-SX3070)
- Light ON model (EE-SX4070)

 The value of the response frequency is measured by rotating the disk as shown below.



 The following illustrations show the definition of response delay time. The value in the parentheses applies to the EE-SX4070.

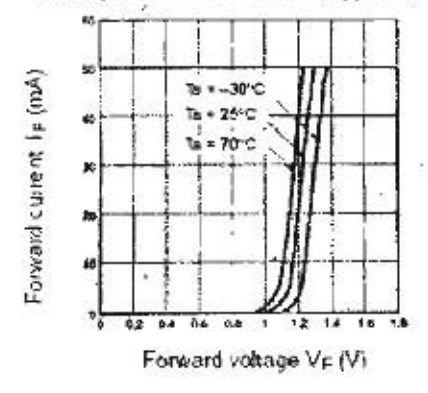


## ■ Electrical and Optical Characteristics (Ta = 25°C)

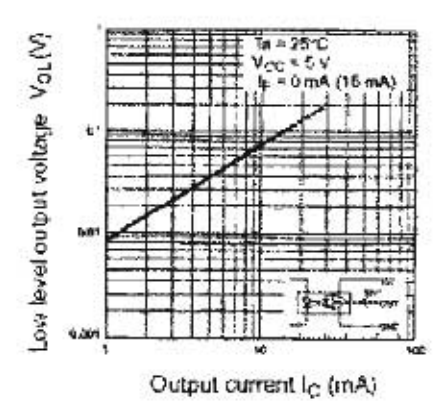
00

	Hem	Symbol	Value	Condition		
Emitter	Forward voltage	V <sub>E</sub>	1.2 V typ., 1.5 V max	I <sub>F</sub> = 20 mA		
	Reverse current	l <sub>R</sub>	0.01 µA typ., 10 µA max.	VR = 4 V		
	Peak emission wavelength	140	940 ram typ.	I <sub>F</sub> = 20 mA		
Detector	Low-level output voltage	Vol	0.12 V typ. 0.4 V max.	Voc = 4.5 to 16 V, l <sub>OL</sub> = 16 mA, l <sub>F</sub> = 0 mA (EE-SX3070), l <sub>F</sub> = 10 mA (EE-SX4070)		
	High-level output Y <sub>OH</sub> voltage		15 V main.	Voc = 16 V, R <sub>L</sub> = 1 kΩ kg = 10 mA · (EE-SX3070) kg = 0 mA · EE-SX4070)		
	Current consumption	lαc	3.2 mA typ., 10 mA max.	Vcc = 16 V		
	Peak spectral sensitivity wavelength	λp	870 ram typ.	V <sub>GC</sub> = 4.5 to 16 V		
LED curre	nt when output is OFF	l <sub>FT</sub>	10 mA max.	V <sub>OC</sub> = 4.5 to 16 V		
LED ourne	nt when output is ON	1200 E	194	15/2/458		
Hysteresis	resis AH		15% typ.	Vec = 4.5 to 16 V (see note 1)		
Response frequency		f	3 kHz min.	Vcc = 4.5 to 16 V, I <sub>F</sub> = 20 mA, I <sub>OL</sub> = 16 mA (see note 2)		
Response delay time		фін (фиг)	3 us typ.	V <sub>CC</sub> = 4.5 to 16 V, l <sub>p</sub> = 20 mA, l <sub>OL</sub> = 16 mA (see note 3)		
Response	aponae delay time topp (loggs		20 µs 1yp.	V <sub>CC</sub> = 4.5 to 16 v <sub>e</sub> l <sub>F</sub> = 20 mA, I <sub>CL</sub> = 16 mA (see note 3)		

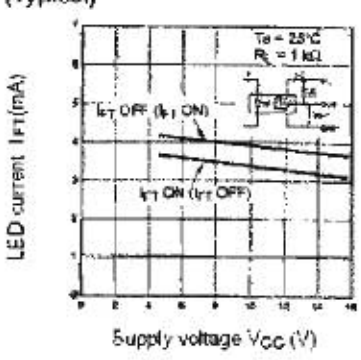
# Forward Current vs. Forward Voltage Characteristics (Typical)



Low-level Output Voltage vs. Output Current (Typical)



#### LED Current vs. Supply Voltage (Typical)



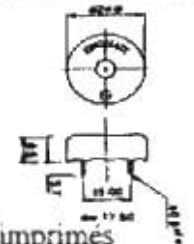
#### **IEELMER**

Bac STI G Electronique	Etude des systèmes techniques industriels	Partie électronique	Page: CAN3/12

## Buzzers - types KPE-228 et KPE Docs à portée de main

Kingstate





- A monter sur circuits imprimés
- Buzzers miniatures à large plage de tension d'alimentation.
- Spécialement étudiés pour des applications sur matériels portables
- Faible consommation.
- Emission continue.
- Its sont disponibles avec deux entraxes 15 ou 17,5 mm

#### Spécifications techniques

Tension d'alimentation 3 à 20 V c c Consommation (@12 V c.c.) 12 mA Fréquence d'oscillation 3500 Hz ±500 Hz Pression sphore (@30 cm), 82 d8 (12 V c c.) Température d'utilisation -30°C à +85°C

# Buzzer piézoélectrique type KPE-272A

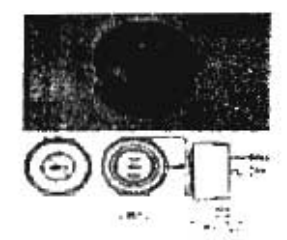
Kingstate



- Alarme prézoélectrique fournissant un son très purssant et continu.
- Modèle économique, faible consommation.
- · Large gamme de tension d'alimentation.
- · Montage sur circuits imprimés.

#### Spécifications techniques

Tension d'alimentation 3-28 V c.c. Consommation: 5 mA à 12 V c.c. Fréquence d'oscillation 3,5 ±0,5 kHz Pression sonore (@30 cm):97 dB min (@12 ∨ c c ) Entraxe des picots 17,5 mm Dimensions picots (mm) Ø 1 x L 6 Dimensions (mm) Ø 32 x h 14 Température d'utilisation. -20°C à +60°C



- Buzzer à montar sur circuit s imprimés, é émission continue
- Modèle étanche pour soudage à la vague.
- Large plage d'alimentation.

#### Spécifications techniques

Tension d'alimentation 5-13 ∨ c.c Consommation 50 mA Frequence discillation: 2,5 kHz ±0,5 kHz Pression sonore (@30 cm): 104 dB Température d'utilisation: -20°C à +60°C

#### Buzzer PKB5-3B0

Murata



- · Buzzer à émission continue et à monter sur panneau avec sortie fi
- · Faible consommation
- · Utilisation dans toutes alarmes informelles

#### Specifications techniques

Tension d'alimentation, 1,5-9 ∨ c.c. Consommation 5 mA max Fréquence d'oscillation: 2,8 kHz Pression sonore (@60 cm) 95 d8 min.

# Buzzer KPE-220

Kingstate



- · Buzzer, à monter sur panneau, à émission continue
- Large plage d'alimentation

#### Spécifications techniques

Tension d'alimentation 3 20 V c c Consommation 10 mA Frequence d'oscillation: 2,7 kHz ±0.5 kHz Pression sonore (@30 cm):76 dB Température d'utilisation, -20°C à +60°C

#### **IEELMER**



2N2222A Transistor



Qual Level: JAN - JANS

Data Sheet No. 2M2222A

Type 2N2222A Geometry 0400 Polarity NPN

Generic Part Number:

2N2222A

REF: MIL-PRF-19500/255

### **Features**

- General-purpose transistor for switching and amplifier applicatons.
- Housed in TO-18 case.
- · Also available in chip form using the 0400 chip geometry.
- · The Min and Max limits shown are per MIL-PRF-19500/255 which Semicoa meets in all cases.
- The Typ values are actual batch averages for Semicoa.
- Radiation Graphs available.



ON Characteristics	Symbol	Min	Тур	Max	Unit
Gain courant DC					
I <sub>C</sub> = 100 μA, V <sub>CE</sub> = 10V	tife	50	180	8	
Ic = 1 mA, Vce = 10V	tife	75	200	325	100
Ic = 10 mA, VcE = 10V	hfe	100	200	-	
Ic = 150 mA, Vce = 10V (pulse test)	hfe	100	200	300	
I <sub>C</sub> = 500 mA. V <sub>CE</sub> = 10V (pulse test)	hfe	30	75	-	100
Tension Vcesat					
Ic = 150 mA, IB = 15mA (pulse test)	Vcesat	-	0,1	0.3	VDC
Ic = 500 mA, IB = 50mA (pulse test)	Vcesat	-37-00	0,3	1	VDC
Tension Vbesat					
I <sub>C</sub> = 150 mA, i <sub>B</sub> = 15mA (pulse test)	Vbesat	0,6	0,85	1,2	VDC
Ic = 500 mA IB = 50mA (pulse test)	Vbesat		1	2	Voc

#### Maximum Ratings

T<sub>c</sub> = 25°C unless otherwise specified

Rating	Symbol	Rating	Unit
Collector-Emitter Voltage	V <sub>C4O</sub>	50	V
Colector-Base Voltage	Yeso .	75	٧
Emitter-Base Voltage	V <sub>EPO</sub>	6.0	v
Collector Current, Continuous	l <sub>c</sub>	90G	mA
Operating Junction Temperature	1,	-85 to +200	°c
Storage Temperature	Ten	-85 to +200	°C

**IEFLMER** 

Dag CTT C Ulastronicus	Eruda das metámas tachniques industrials	Dartie electronique	Dogo CANS/19





# STTA3006P/PI STTA6006TV1/2

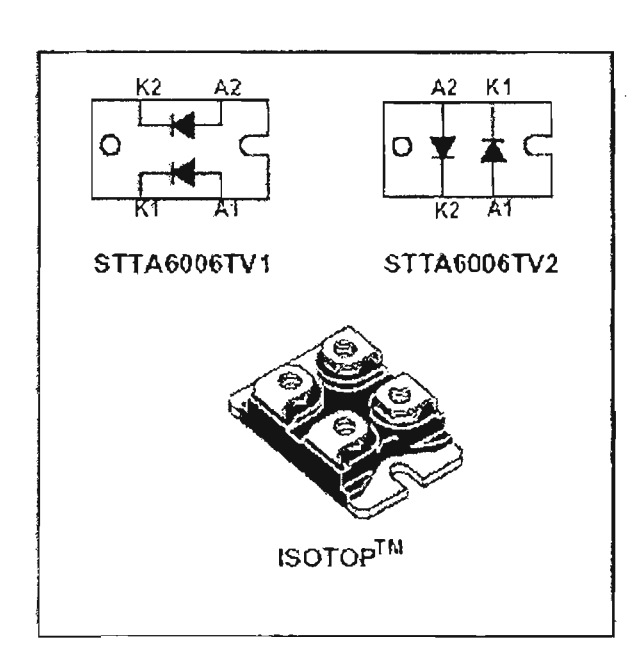
# TURBOSWITCH™ ULTRA-FAST HIGH VOLTAGE DIODE

#### MAIN PRODUCT CHARACTERISTICS

IF(AV)	30A/2x30A
VRRN	600V
t <sub>rr</sub> (typ)	35ns
Vr (max)	1,5V

### Description:

- Spécifiquement étudiée pour l'utilisation en diode de roue libre
- Très rapide
- Très peu de puissance perdue dans la diode et le transistor associé
- Utilisée pour les grande fréquences
- Boîtier isolé: 2500 V<sub>RMS</sub>







# VNP49N04FI VNB49N04 / VNV49N04

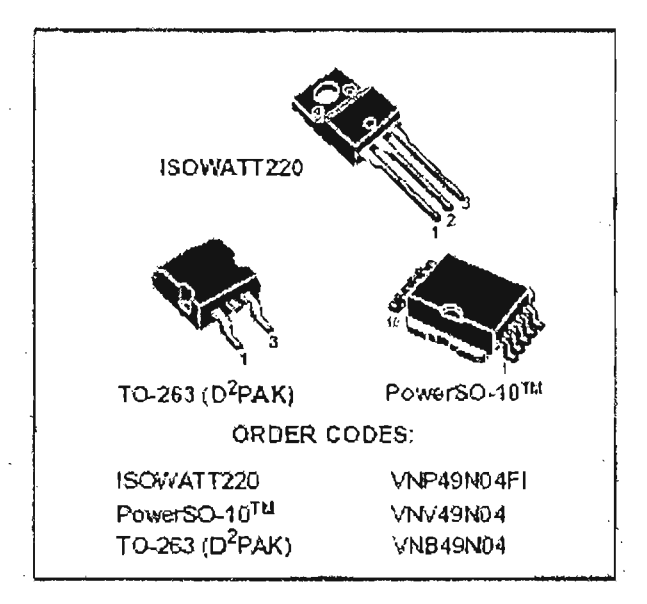
# "OMNIFET": FULLY AUTOPROTECTED POWER MOSFET

TYPE	VCLAMP	Rosioni	LIM
VNP49N04FI			
VNB49N04	42 V	<b>2</b> Ŏ mΩ	49 A
VNV49N04			

- **IN LINEAR CURRENT LIMITATION**
- a THERMAL SHUT DOWN
- SHORT CIRCUIT PROTECTION
- is INTEGRATED CLAMP
- **LOW CURRENT DRAWN FROM INPUT PIN**
- DIAGNOSTIC FEEDBACK THROUGH INPUT PIN
- n ESD PROTECTION
- " DIRECT ACCESS TO THE GATE OF THE POWER MOSFET (ANALOG DRIVING)
- " COMPATIBLE WITH STANDARD POWER MOSFET

#### DESCRIPTION

The VNP49N04Ft. VNB49N04, VNV49N04 are monolithic devices designed in STMicroelectronics VIPower I/IO Technology, intended for replacement of standard Power



MOSFETS from DC up to 50KHz applications. Built-in thermal shutdown, linear current limitation and overvoltage clamp protect the chip in harsh environments.

Fault feedback can be detected by monitoring the voltage at the input pin.

#### Octal D-type transparent latch; 3-state

#### 74HC/HCT573

#### Descriptions générales :

Le circuit est composé de 8 bascules D à verrouillage rapide utilisant la technologie haute vitesse CMOS à faible consommation Les sorties sont à logique 3 états

#### Fonctionnement:

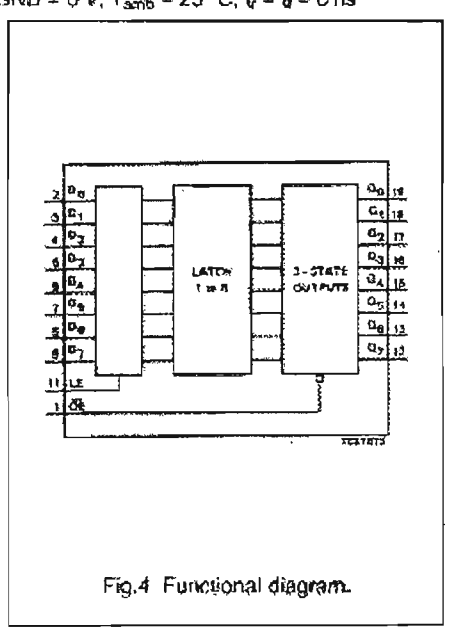
Lorsque  $\overline{OE}$  est à l'état bas et l'entrée de validation LE est à l'état haut, les sorties Q recopient les entrées D.

Lorsque LE est à l'état bas les données sont mémorisées tant que LE ne repasse pas au niveau haut.

Lorsqu'un niveau logique haut est appliqué sur l'entrée de contrôle de sorties OE toutes les sorties passent à l'état « haute impédance »

#### QUICK REFERENCE DATA

GND = 0 V;  $T_{amb} = 25 \,^{\circ}\text{C}$ ;  $t_r = t_r = 6 \,\text{ns}$ 



#### Caractéristiques:

- Temps de propagation typique de 18ns
- Valim de 2 à 6V
- Courant d'entrée de 1µA
- Les sorties peuvent commander 15 charges de technologies TTL LS

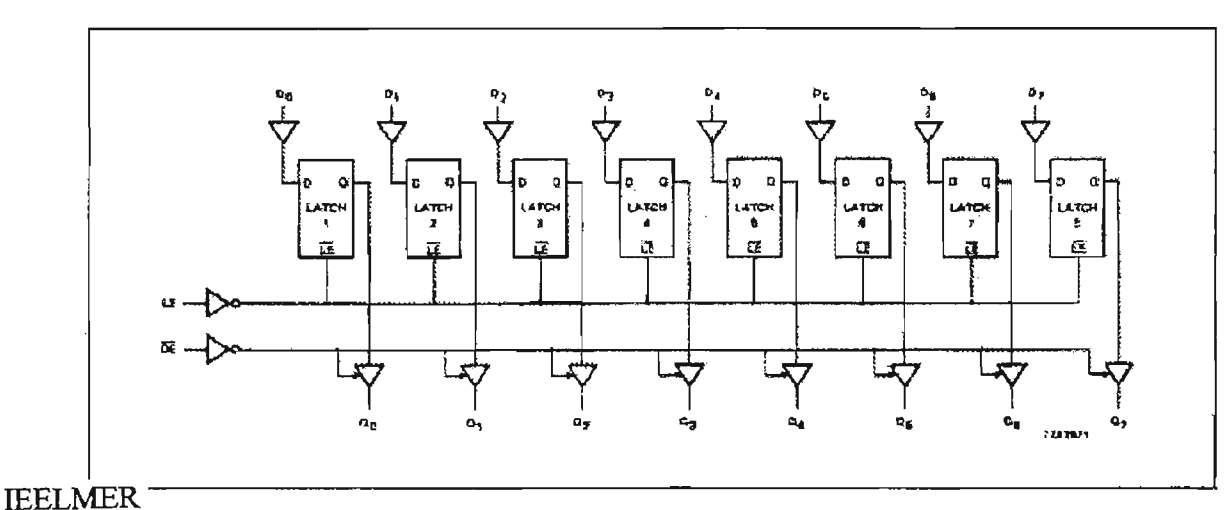
#### Table de fonctionnement

OE	LE	entrée	sortie
0	1	1 .	1
0	1	0	. 0
0	0	X	Q <sub>0</sub>
1	X	X	Z

Z: Haute impédance

X : Etat indifférent

Qo:Mémorisation de l'état précédent





5-volt Only Flash Memory

#### Caractéristiques:

- Temps d'accès rapide 70ns
- Programmable en 5V
- Cycle de programmation rapide
- Faible dissipation de puissance
- CMOS et TTL compatible

#### Description:

C'est une mémoire FLASH programmable de type PEROM (Programmable et Effaçable Read Only Mémory) de technologie CMOS non volatile.

Lorsque cette mémoire n'est pas activée, elle a une consommation très faible de l'ordre de 300µA.

Elle peut être reprogrammée plus de 10000 fois.

### Pin Configurations

Pin Name	Function
A0 - A14	Addresses
CE	Chip Enable
<u>OE</u>	Output Enable
ME	Write Enable
1/00 - 1/07	Data Inputs/Outputs
NC	No Connect
DC	Don't Connect

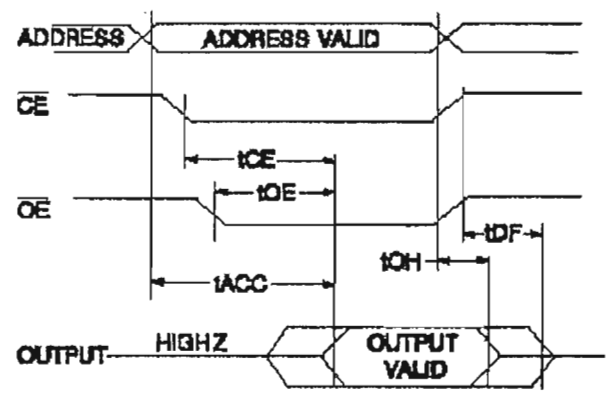
#### **AC Read Characteristics**

		AT29C256-70		AT29C256-90		AT29C256-12		AT29C256-15		
Symbol	Parameter	Min	Max	Min	Max	Min	₽lax	Min	Max	បnite
t <sub>ADC</sub>	Address to Output Delay		70		90		120		150	ns
toe(t)	ČE to Output Delay		70		90		120		150	ns
toE(Z)	OE to Output Delay	0	40	0	40	Ď	50	0	70	ns
t <sub>Dr.</sub> (3)(4)	CE or OE to Output Float	0	25	0	25	Ō	30	0	40	ns
t <sub>OH</sub>	Output Hold from OE, CE or Address, virishever occurred first	0		0		0		0		ns:

Note:

Not recommended for New Designs.

## AC Read Waveforms(1)(2)(3)(4)



Notes:

- TE may be delayed up to t<sub>ACC</sub> t<sub>CE</sub> after the address transition without impact on t<sub>ACC</sub>.
   DE may be delayed up to t<sub>CE</sub> t<sub>DE</sub> after the falling edge of CE without impact on t<sub>CE</sub> or by t<sub>ACC</sub> t<sub>DE</sub> after an address change
- without impact on  $t_{ACC}$ .

  3.  $t_{DF}$  is specified from  $\overline{OE}$  or  $\overline{CE}$  whichever occurs first (CL = 5 pF).

  4. This parameter is characterized and is not 100% tested.

#### FEELMER

Bac STI G Electronique	Etude des systèmes techniques industriels	Partia Alectronique	D. CARTOMA
Bac STI G Electronique	I Enide des systèmes techniques industriels	Partie électronique	Page: CAN9/12





#### **DESCRIPTION**

La HY628400A est une SRAM haute vitesse faible consommation. La technologie est du CMOS.

Les données sont sauvegardées pour une alimentation minimum de 2V

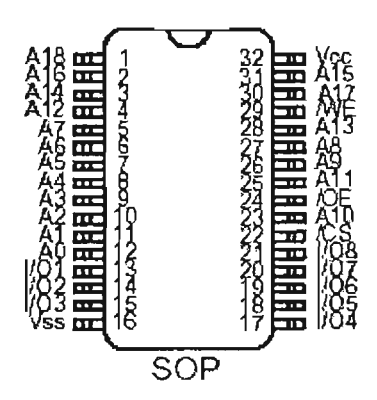
#### **CARACTERISTIQUES**

- Sorties 3 états
- Compatible TTL
- Faible consommation
- Données sauvegardées pour une alimentation de 2Vmin
- Broches standard et réversibles

Product	Voltage	Speed	Operation	Standby Current(uA)		Temperature
No.	(V)	(ns)	Current/lcc(mA)	L	LL	(°C)
HY628400A	4.5~5.5	55/70/85	10	100	30	0~70
HY628400A-E	4.5~5.5	55/70/85	10	100	50	-25~85
HY628400A-I	4.5~5.5	55/70/85	10	100	50	-40~85

Note 1. Current value is max.

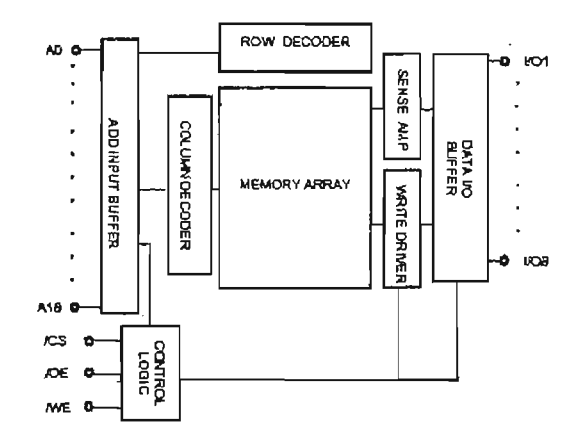
## PIN CONNECTION



#### PIN DESCRIPTION

Pin Name	Pln Function					
/CS	Chip Select					
WE	Write Enable					
/OE	Output Enable					
A0 ~ A18	Address Inputs					
1/01 - 1/08	Data Inputs/Outputs					
Vcc	Power(4.5~5.5V)					
Vss	Ground					

#### **BLOCK DIAGRAM**



#### **IEELMER**

Bac STI G Electronique	Etude des systèmes techniques industrie	els Partie électronique	Page : CAN10/12



Philips Semiconductors Product data

Single-chip 8-bit microcontroller with 10-bit A/D, capture/compare timer, high-speed outputs, PWM

80C552/83C552



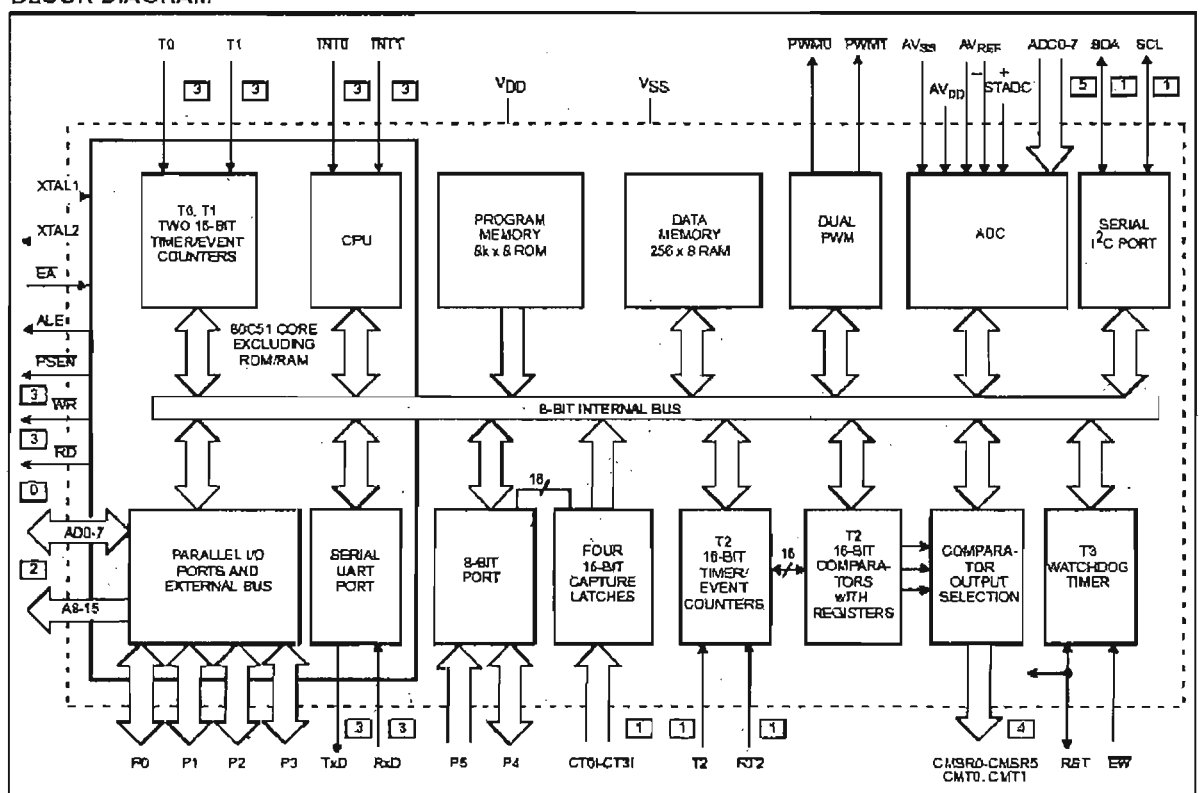
#### DESCRIPTION

Le 80C552 est un microcontrôleur 8 bits ACMOS dérivé du 80C51 Il peut être utilisé avec des mémoires extérieures de type TTL standard Il possède 2 modes sélectionnables d'économie d'énergie qui permettent de mettre en veille le micro en préservant la RAM, le timer, les ports et les interruptions.

#### **CARACTERISTIQUES**

- Processeur central 80C51
- 8 Ko de ROM
- Timer/compteur 16 bits couplés avec 4 registres de capture et 3 registres comparateurs
- 2 timer/compteur 16 bits standards
- 256 octets de RAM
- CAN 10 bits avec 8 entrées analogiques multiplexées
- 2 modules 8 bits PWM
- 5 ports de 8 bits bidirectionnels
- Bus I<sup>2</sup>C avec fonction maître/esclave
- Full duplex UART
- 1 module chien de garde
- Fréquences possibles : 3.5 à 24 MHz

# **BLOCK DIAGRAM**



#### **IEELMER**



Philips Semiconductors Application note

# Using the analog-to-digital converter of the 8XC552 microcontroller

EIE/AN93017

#### INTRODUCTION

C'est un CAN 10 bits à approximations successives. La conversion prend 50 cycles machines

#### Diagramme de fonctionnement symbolique

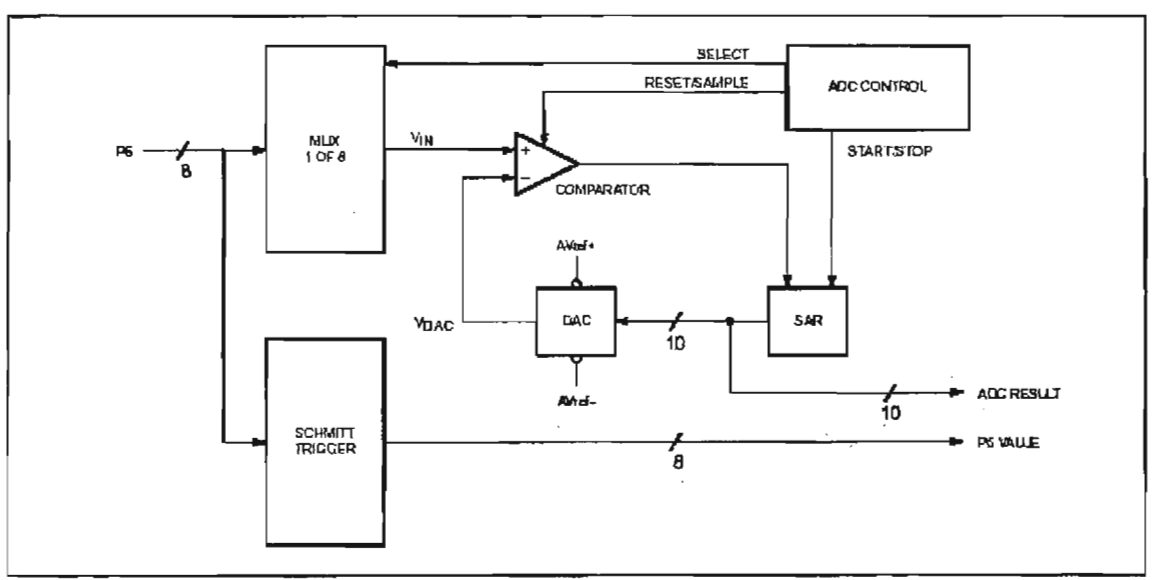


Figure 1.

### Description:

- Mux: Multiplexeur 8 vers 1
- SAR :Registre d'approximations successives
- DAC : Convertisseur Analogique Digital
- ADC Control : Contrôleur du convertisseur

#### **EELMER**



## BACCALAUREAT SCIENCES ET TECHNOLOGIES INDUSTRIELLES

# Spécialité génie électronique

Session 2003

Etude des systèmes techniques industriels

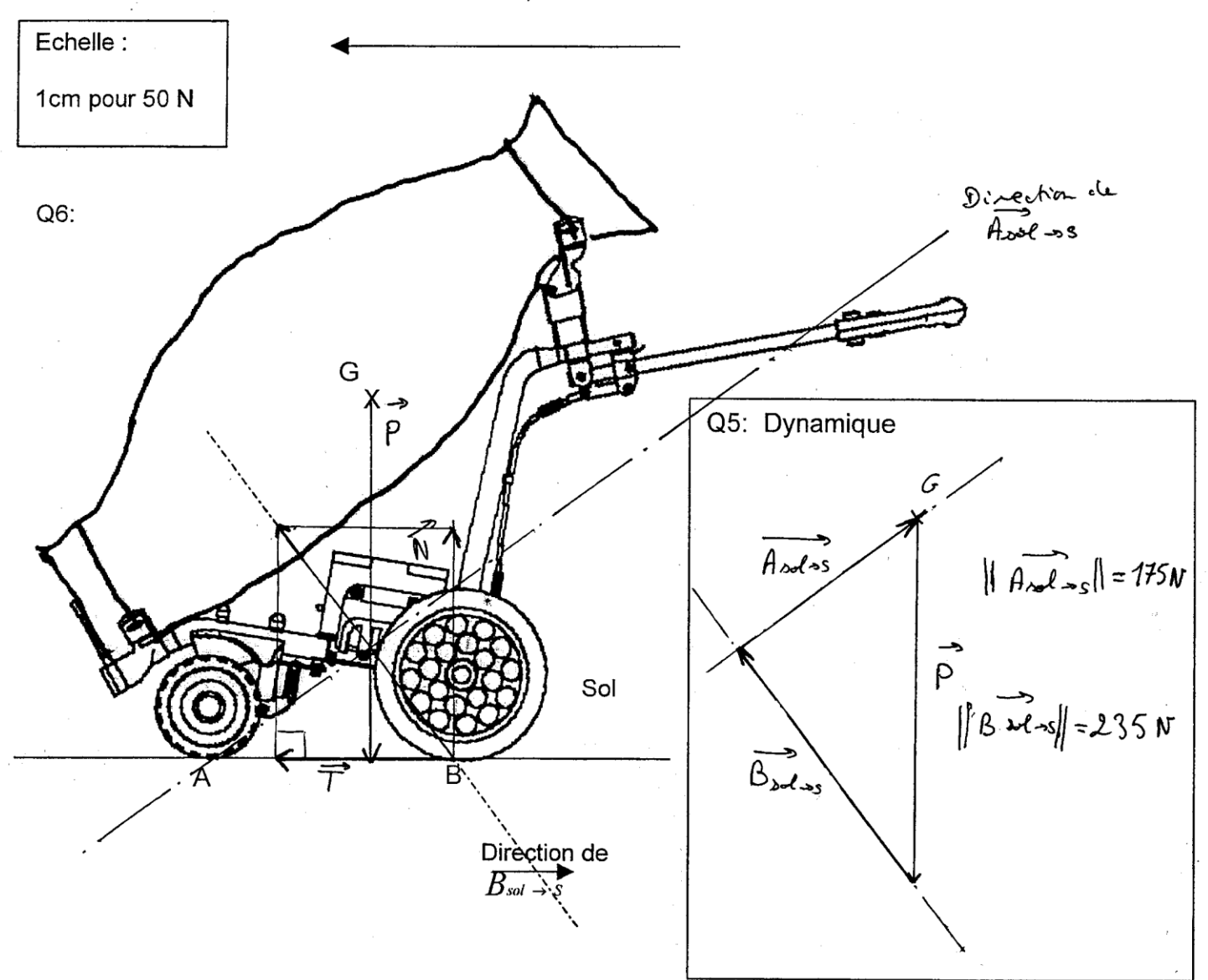
# **CHARIOT DE GOLF**

## **CORRIGE**

Partie mécanique et construction

# Partie 2 Etude dynamique occument réponse BR2

#### Sens du déplacement



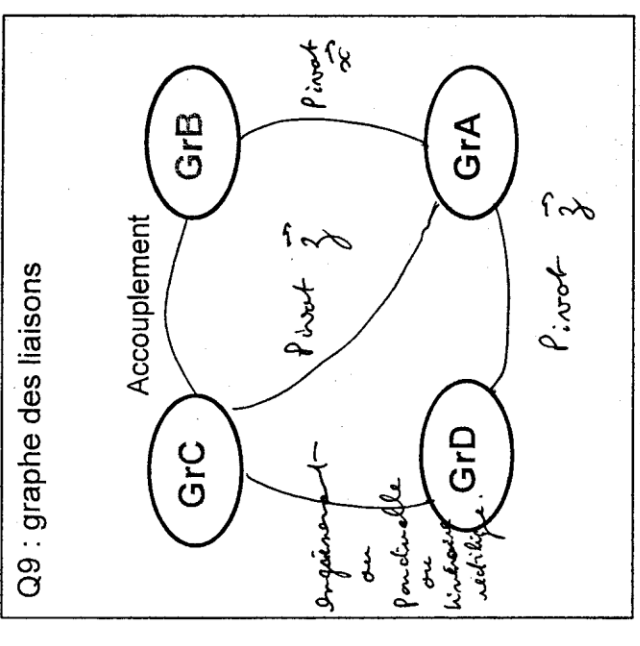
Q2 : Donner la valeur de P en Newton précédée de sa forme algébrique.

Q3 : Enoncé du principe fondamental de la statique:  $\sum \left\{ \mathcal{T}_{s,ct} \right\} = \left\{ \circ \right\}$ 

Q4: le chariet est en équilibre sous l'action de 3 ghirseus, leurs divites d'action sont donc coplonaires et concornantes.

Q7: ||T|| = 140 N < 200 Nla condition de non-endommagement de gazon est respectée.





**GrB** {6a; 10 rotor}

Grc (3; 66, 860

GrA {1; 2, 7, 9, 10 state

.. 88

8 to the 18, 18, 16, 15

Partie S Etude cinématique : document réponse BR3

Q10: Calcul du rapport de transmission r.

Accouplement

×

GrD {4;5}#

Q12: calcul de la vitesse de translation du chariot et conclusion de l'étude.

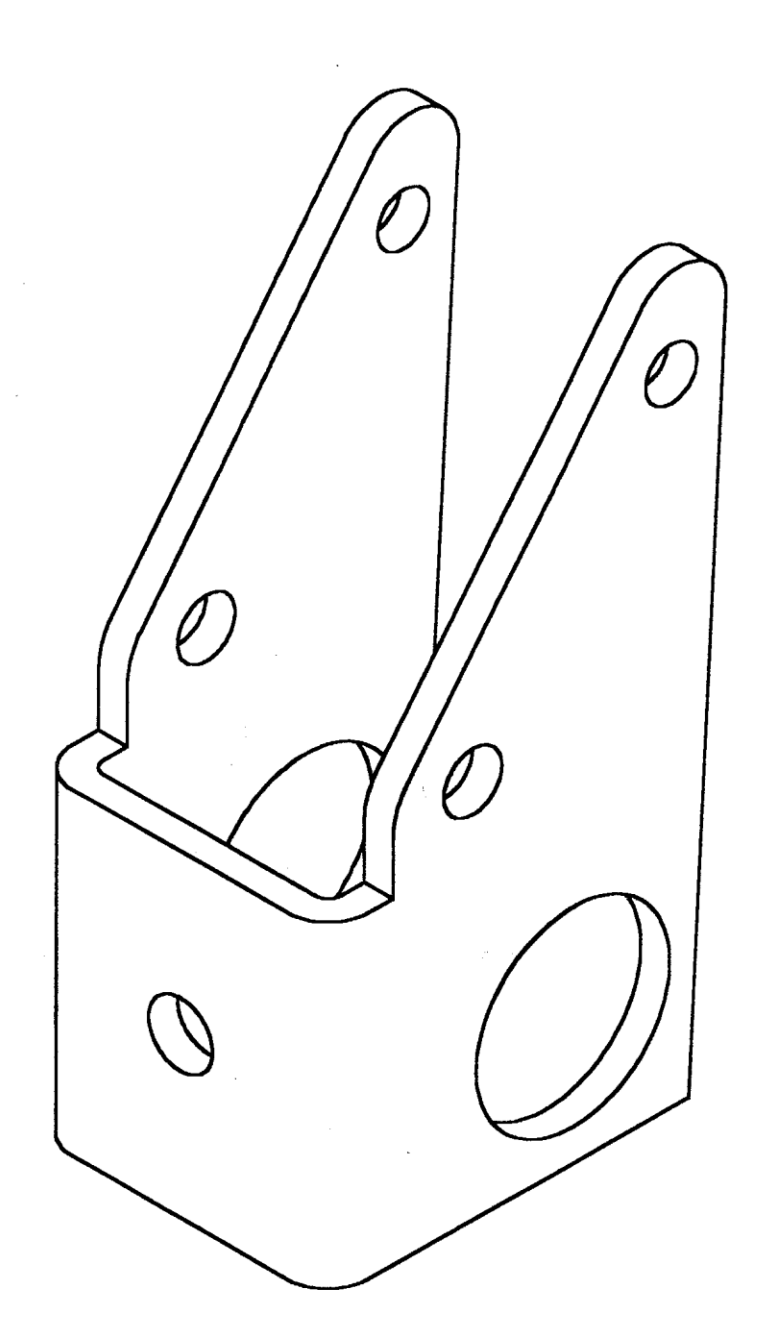
Now = Nonoteux r = 4600.2 = 184 til min

Q11: calcul de la vitesse de rotation de la roue.

yent afternation de viterre more entre des changes.

Bac STI G Electronique | Etude des systèmes techniques industriels | Partie mécanique construction | Page BR3/ 3





Format : A4 Ech . 1.22 : 1	BACCALAUREAT GENIE ELECTRONIQUE session 2003 Chariot de golf	
Dessiné par:	Chape	
Le //	Document réponse BR1   IEELMERBIS	



# Barème Chariot de Golf

# Partie Mécanique

	т	
Questions	pts	total
Partie 1 : Etude graphi	que	
Q1:	6	
		6
Partie 2 : Statique		
Q2	1	
Q3	2	
Q4	1	· .
Q5	2	
Q6	1/2	
Q7	1/2	
		7
Partie 3 : Cinématique		
Q8	2	
Q9	2	
Q10	1	
Q11	1	
Q12	1	•
		7
	Total	20



### BACCALAUREAT SCIENCES ET TECHNOLOGIES INDUSTRIELLES

# Spécialité génie électronique

Session 2003

Etude des systèmes techniques industriels

# **CHARIOT DE GOLF**

**CORRIGE** 

Partie électronique

## REPONSES ATTENDUES ET NOTATION

- 1 pt 1) Ce départ en douceur permet une meilleure synchronisation avec le déplacement de l'usager et une économie d'énergie.
- 1 pt 2) Un potentiomètre (repère A page A3/4)
- 1 pt 3) Lorsque la batterie est trop faible, le chariot s'arrête, une LED s'allume et 4 bips avertissent l'utilisateur.
- 1 pt 4) Offset = Vcc / 2 = 4.5V
- 2 pts 5)  $V_{S1} = V_{CC}/2$
- 3 pts 6) Vimot = Vcap Vcc / 2
- 2 pts 7) Vimot = Vutile
- 2 pts 8) L'ensemble permet de compenser l'offset introduit par le capteur
- 2 pts 9) On a 40db par décade d'atténuation, donc c'est un filtre d'ordre 2
- 2 pts 10) Fc est approximativement égale à 4,5 Hz
- 2 pts 11) Environ 2 dB
- 2 pts 12)  $A_0=1.26$
- 2 pts 13) Vimoy =  $A_0 \times Vimot_{moy}$
- 2 pts 14) Le filtre enlève les harmoniques du signal d'entrée et ne laisse passer que la valeur moyenne du signal
- 2 pts 15) Le capteur est une fourche munie d'une diode émettrice et d'une photodiode réceptrice. Une roue crantée est en rotation entre les diodes. Chaque fois qu'une encoche passe, la photodiode réceptrice reçoit un signal lumineux. La présence de ce signal lumineux entraîne la saturation du transistor de sortie (Light ON model EE-SX4070 voir doc. constructeur page CAN 3/12) et Vout = 0. En cas d'absence du signal (cran entre les diodes) le transistor de sortie est bloqué: Vout = Vcc. La fréquence du signal de sortie est donc proportionnelle à la vitesse de rotation des roues.
- 1 pt 16)  $V_F = 1,2V$
- 2 pts 17)  $R35 = 487 \Omega$
- 1 pt  $R35n = 470 \Omega$
- 4 pts 18) voir CR1
- <sup>2</sup> pts 19) Type KPE-228 et 238
- 2 pts 20) Ibsat<sub>mini</sub> =  $1.2 \cdot 10^{-4}$
- 3 pts Ib = I4-I5 = 3,810<sup>-4</sup> Ib>Ibsat<sub>mini</sub> donc Q8 saturé, il fonctionne en commutation
  - 21) Table de vérité

2 pts

R	S	Qn
0	0	Q <sub>n-1</sub>
0	1	1
1	0	0



- 3 pts 22) Voir CR1
- 2 pts 23) Cette structure remplie la fonction anti-rebonds
- 2 pts 24) Cette diode protège les MOS lorsque ils passent de l'état passant à l'état bloqué en permettant au courant moteur de passer par elle.
- 1 pt Elle est donc passante au moment du blocage des MOS.
- 1 pt 25) C'est la résistance équivalente entre Drain et Source lorsque le transistor est passant
- 2 pts 26) La résistance est équivalente aux 2 Rdson en parallèle donc =  $10 \text{ m}\Omega$
- 2 pts 27) Vmot =  $12 10.10^{-3} \times 10 = 11.9 \text{ V}$
- 2 pts  $28)\alpha = t1/T$
- 2 pts 29)  $Vmot_{moy} = Vbat \times \alpha$
- 2 pts 30) On fait varier la valeur moyenne de la tension aux bornes du moteur donc sa vitesse
- 2 pts 31)  $\alpha = 1$
- 2 pts 32) Voir CR2
- 1 pt 33) Logique 3 états ; 0, 1, haute impédance
- 2 pts 34) lorsque LE est à l'état bas les données présentes en sorties sont égales à celles mémorisées précédemment (verrou bloqué).
  - lorsque LE est à l'état haut les données présentes en sorties sont égales à celles présentes en entrées (verrou transparent).
- 2 pts 35) Le bus d'adresse basse étant multiplexé avec les données, il sert à mettre en mémoire les adresses basses
- 2 pts 36) t<sub>acc</sub> représente le temps d'accès : C'est à dire le temps que met une donnée lorsque elle est sélectionnée pour être valide en sortie. Cette valeur est importante car elle représente la rapidité de la mémoire
- 2 pts 37) AT29C256 :  $2^{15} = 32 \text{ Ko} = 256 \text{ Kb}$ HY628400 :  $2^{19} = 512 \text{ Ko} = 4 \text{ Mb}$
- 1 pt 38) L'entrée de sélection est  $\overline{CS}$  et  $\overline{CE}$
- 4 pts 39) Voir CR3
- 2 pts 40) Voir CR3
- 2 pts 41) Taille d'une page :  $2^{14} = 16$  Ko
- 3 pts 42) Nombre de pages :  $2^5 = 32$  ou 512 / 16 = 32
- 4 pts 43) Procédure d'écriture :
  - Sélectionner le boîtier : CS = 0 donc A15 = 0
  - Sélectionner le mode écriture :  $\overline{WE} = 0$  donc WR = 0
  - Envoyer l'adresse ou l'on veut stocker la donnée et mettre LE du 74HCT573 à 1
  - Mettre LE à 0 et envoyer la donnée

IEELMERBIS 2/3



4 pts 44) Equation de  $\overline{OE}$ ;  $\overline{OE}$ =  $\overline{(PSEN+code)+(RD+code)}$ Equation simplifiée :  $\overline{OE}$  =  $\overline{PSEN}.\overline{RD}+\overline{PSEN}.\overline{code+code}.\overline{RD}$ 

2 pts 45) 1LSB =  $5/2^{10} = 4,88 \cdot 10^{-3} \text{ V}$ 

2 pts 46) Si j'ai 1,83 V en entrée, j'ai  $375_{(10)}$  en sortie donc 1 0111 0111 b

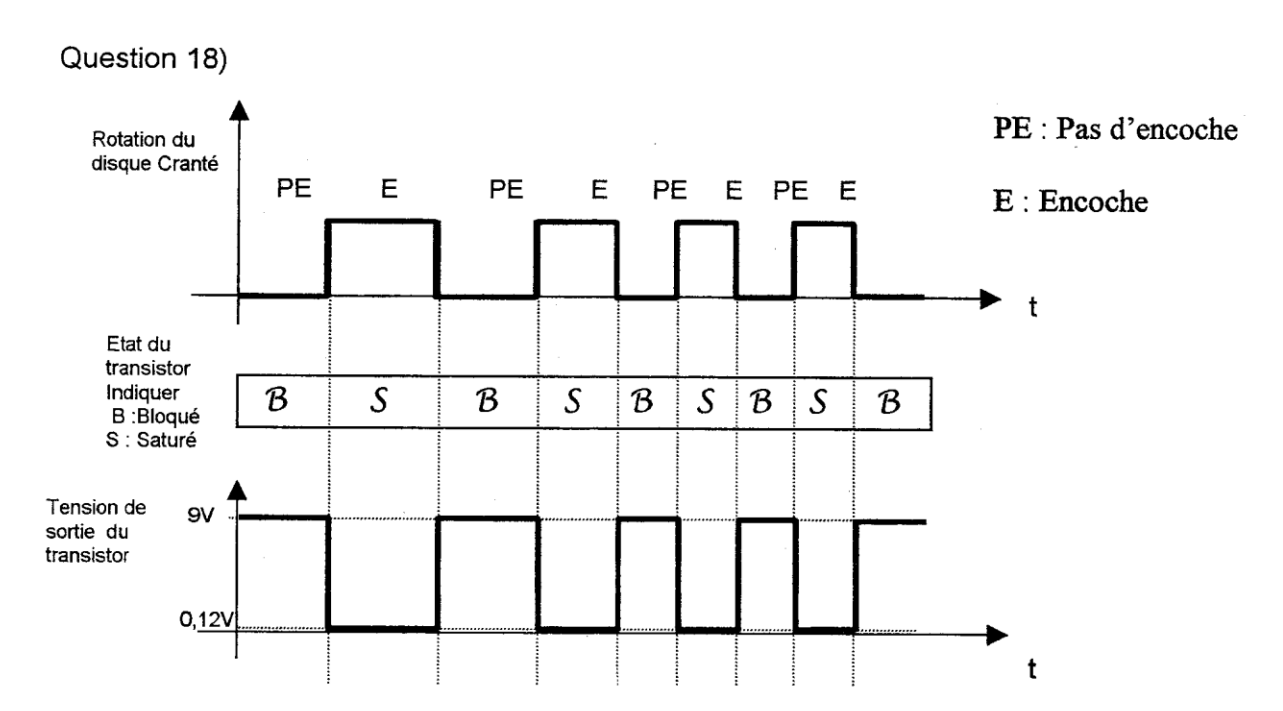
2 pts 47) Etant donnée qu'il y a 8 entrées différentes, le multiplexeur sert à sélectionner l'entrée parmi les 8 que l'on veut convertir

TOTAL: 100 pts

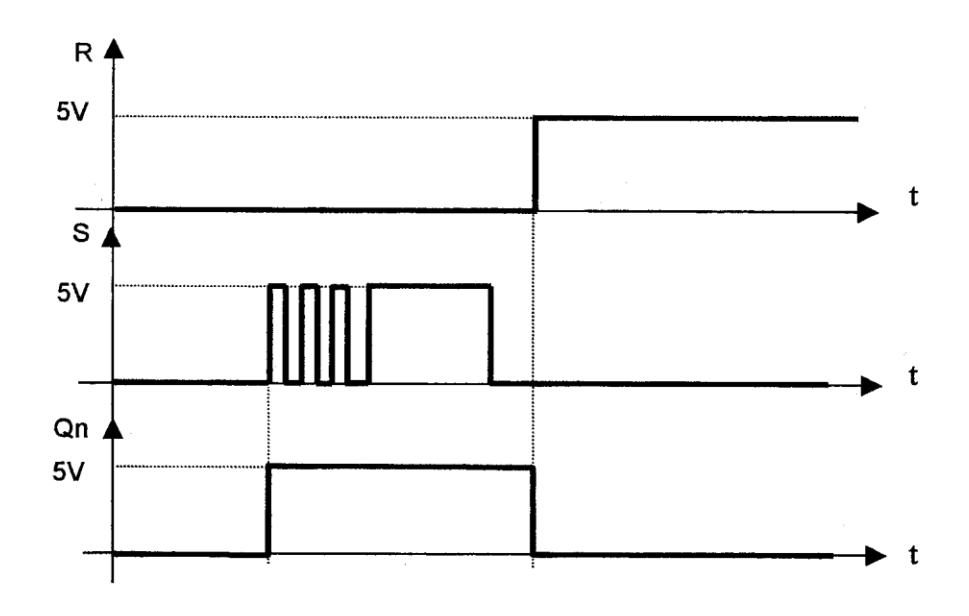
IEELMERBIS 3/3



### **DOCUMENT REPONSE N°1**

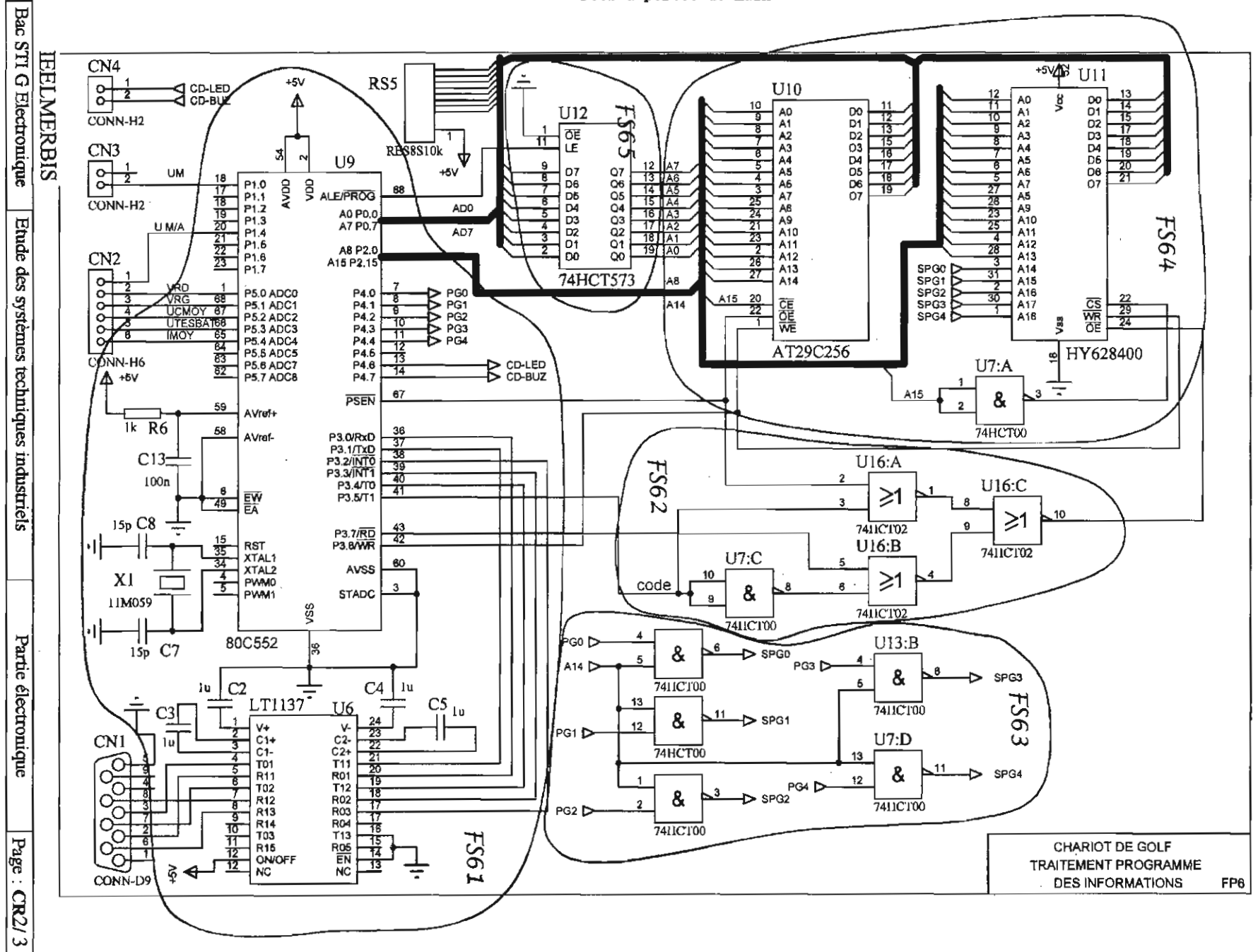


### Question 22)



N°2

QUESTION 32)



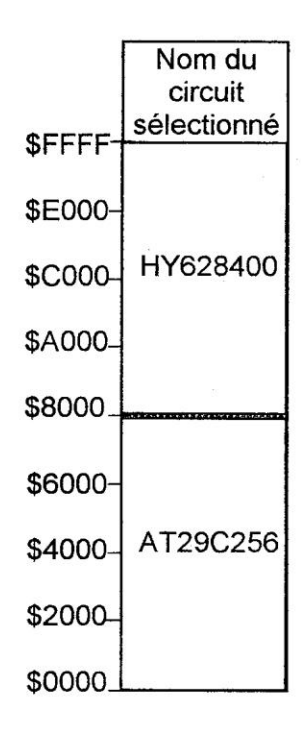


## **DOCUMENT REPONSE N°3**

QUESTION 39)

Circuit		A15	A14	A13	A12	A11	A10	A9	A8	A7	A6	A5	A4	A3	A2	A1	A0	Hexadécimal
<b>EPROM</b>	Début	0	0	0	0	0	0	0	0	0	0	0	0	0	0	0	0	\$0000
	Fin	0	1	1	1	1	1	1	1	1	1	1	1	1	1	1	1	\$7FFF
RAM	Début	1	0	-0	0	0	0	0	0	0	0	0	0	0	0	0	0	\$8000
	Fin	1	1	1	1	1	1	1	1	1	1	1	1	1	1	1	1	. \$FFFF

QUESTION 40)



Bac STI G Electronique	Etude des systèmes techniques industriels	Partie électronique	Page: CR3/3